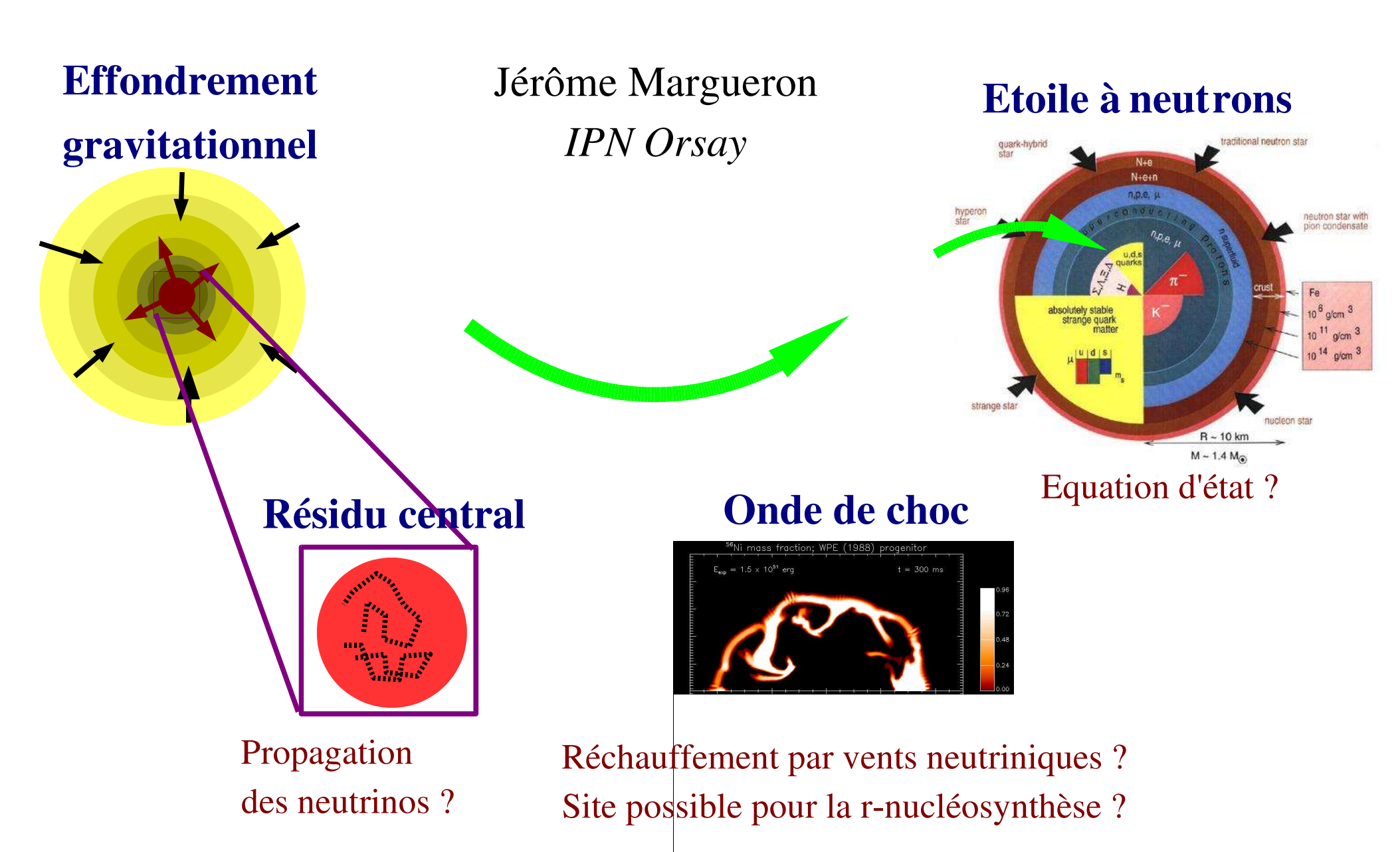
Des noyaux aux étoiles denses

Prospectives pour les modèles de supernovae et d'étoiles denses



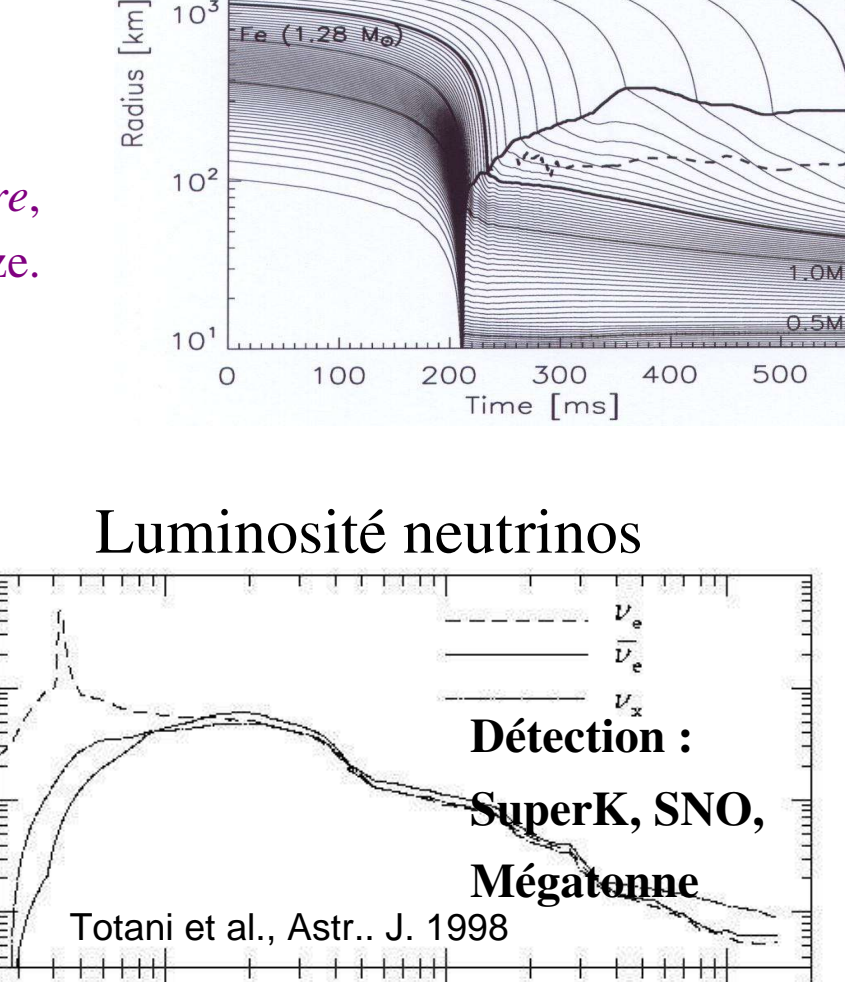
Effondrement gravitationnel

un mécanisme qui reste à élucider

Aspects hydrodynamiques:

Cf. *Univers thermonucléaire*, J.-P. Chièze.





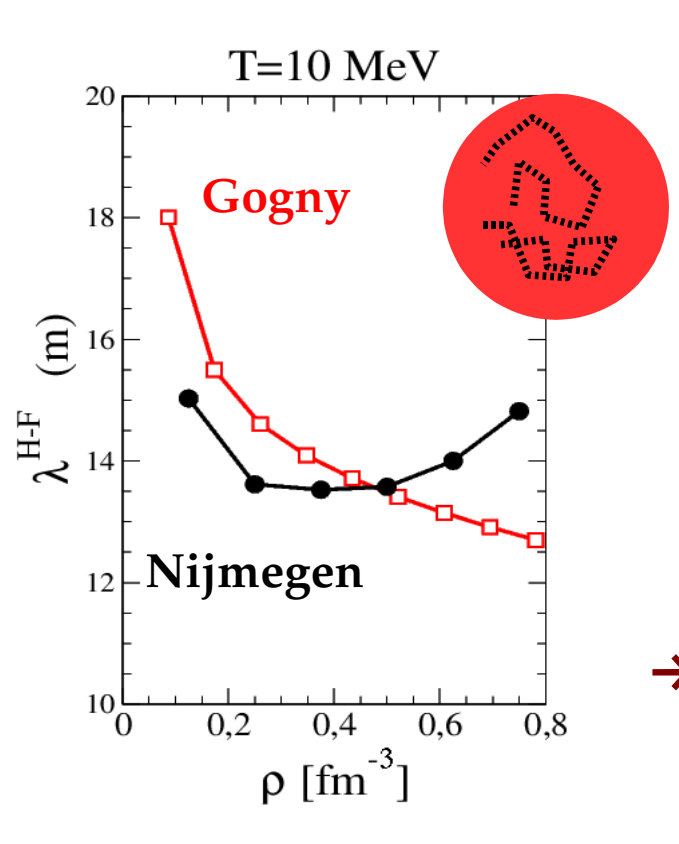
Si (1.77 Mg)

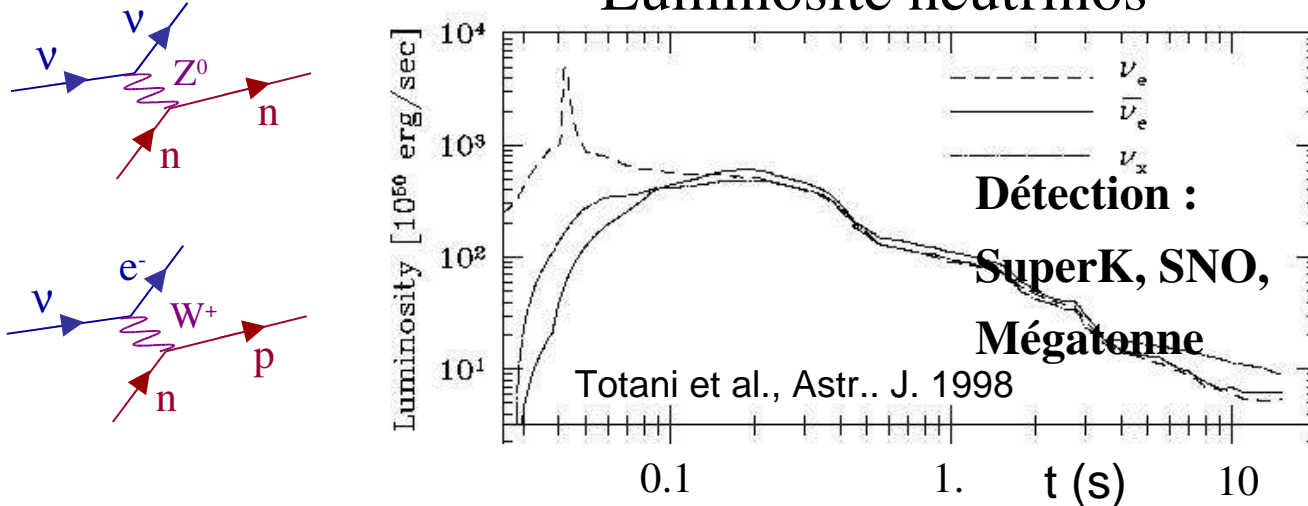
Fe (1.28 Mg

 10^{3}

Rampp and Janka, Astr. J. 2000

1.5Mg





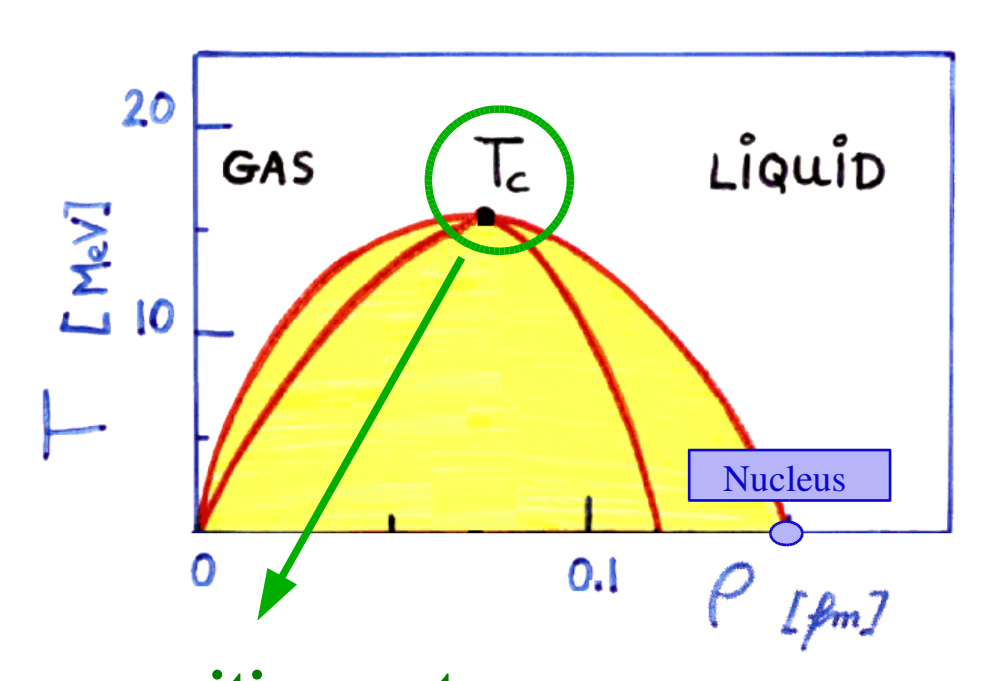
→ Effets du milieu nucléaire

(excitations multipaires, opalescence critique)

Effets du milieu:

Opalescence critique des neutrinos?

Diffusion des neutrinos sur les fluctuations de densité associées à la transition de phase liquide-gaz.



Cf. Dynamique et thermodynamique nucléaire, Rémi Bougault.

L'opalescence critique est observée pour les fluides de type Van der Waals, envisagée en physique nucléaire

- → Conséquences pour l'explosion SN II ?
- → Développement d'un nouveau modèle ?

Onde de choc

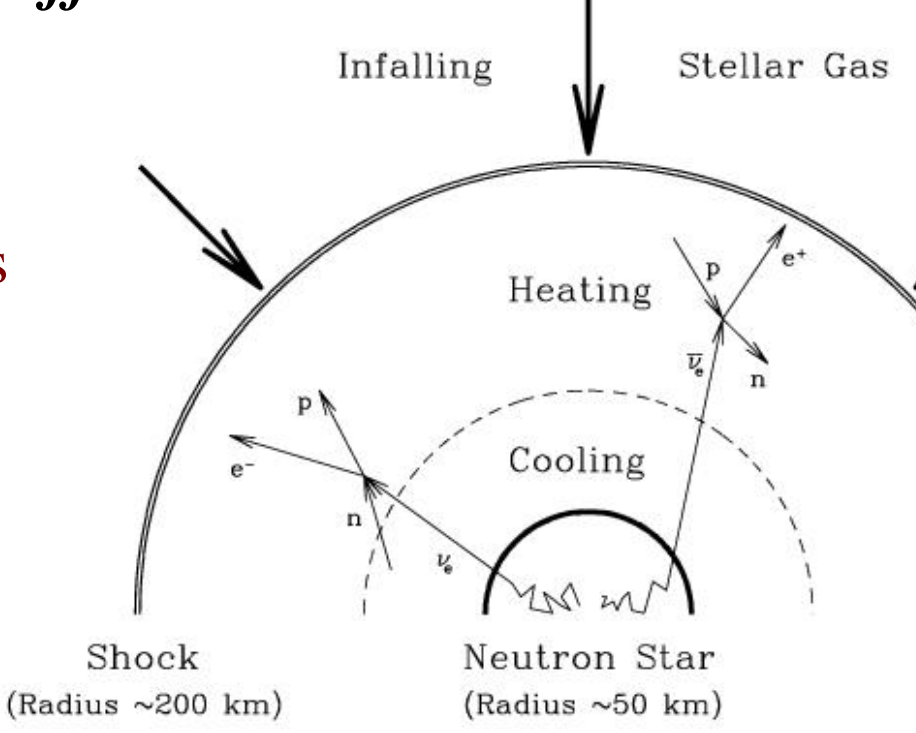
Comment la rechauffer?

Vents neutriniques: Interaction -noyau

→ Calculs extensifs de sections efficaces

- → Beta-beams de basse énergie
- → Physique des neutrinos

Cf. *Neutrinos dans l'univers*, Cristina Volpe.



Nouveaux scénarios ???

→ conséquences de l'opalescence critique...

→ Site possible pour le processus r de la nucléosynthèse

Production de faisceaux de noyaux radioactifs:

exemple de Spiral II au Ganil

126

GSI, RIA,

EURISOL.

Observables nécessaires:

X Energie de séparation neutron, (Fermeture de couche)

X Périodes , , fission, ...

X Taux de capture de neutrons,

X Interaction -noyau.

Radioctive isotopes produced in a Uc, target

<u>Lien Théorie – Expériences</u>

Il est impossible de mesurer toutes les observables

- → Développement d'un modèle nucléaire prédictif validé sur quelques mesures.
- → <u>Théories microscopiques</u>.

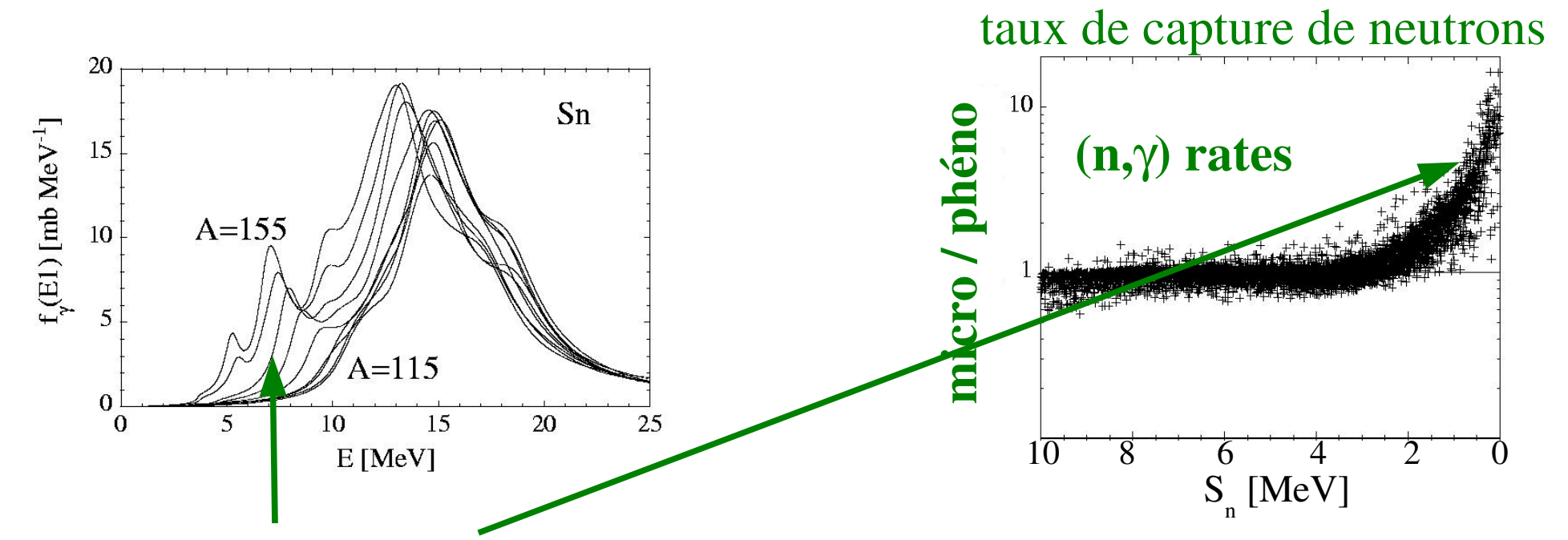
high intensity light ions

Modèle microscopique pour le processus r

Modèle de masse microscopique développé à Bruxelles (HFB).

→ Modèle à grande échelle pour les modes collectifs (QRPA)

$$E_{GDR}(micro) \sim E_{GDR}(ph\acute{e}no) : =400 \text{ keV}$$

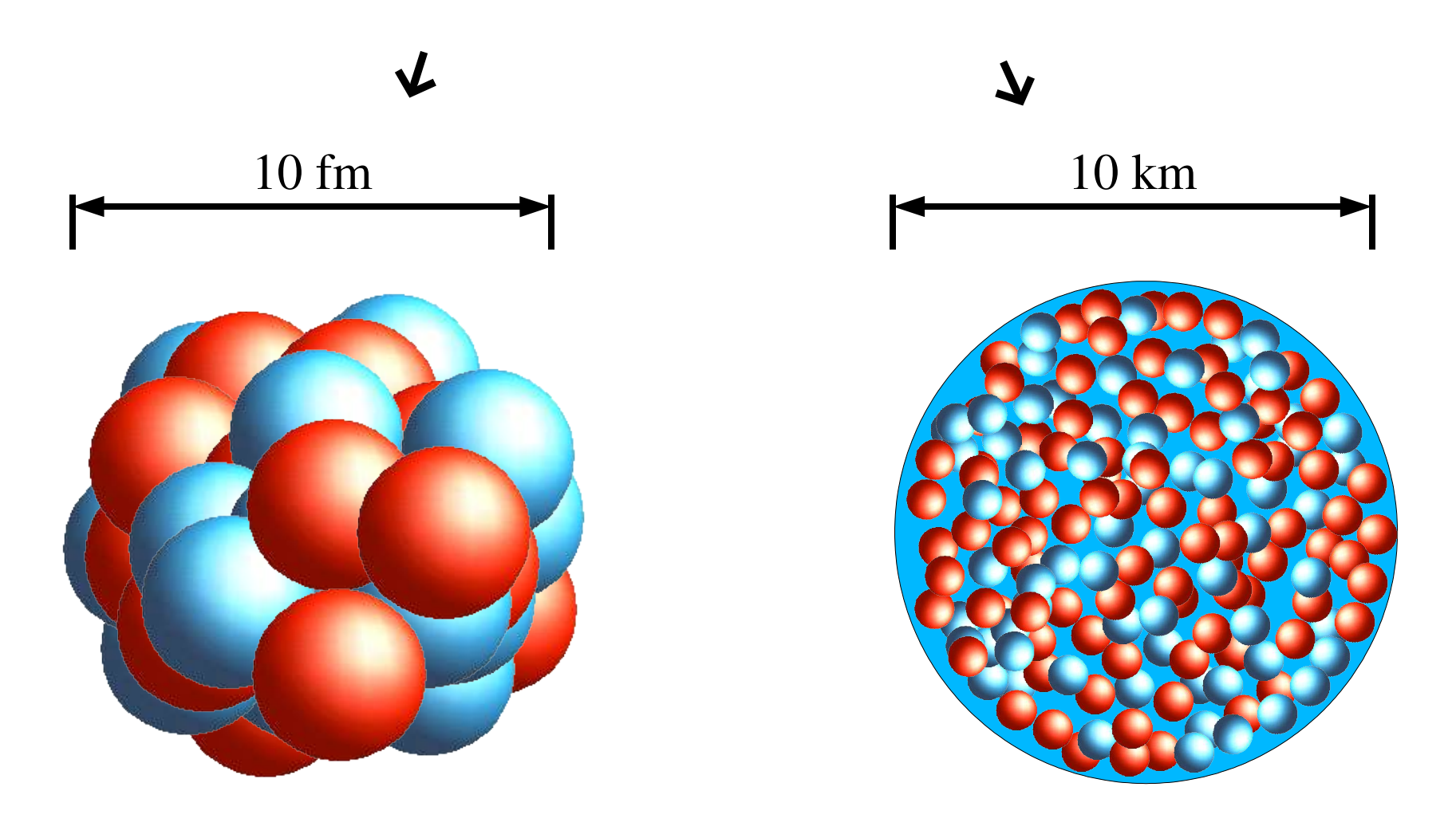


résonance de basse énergie

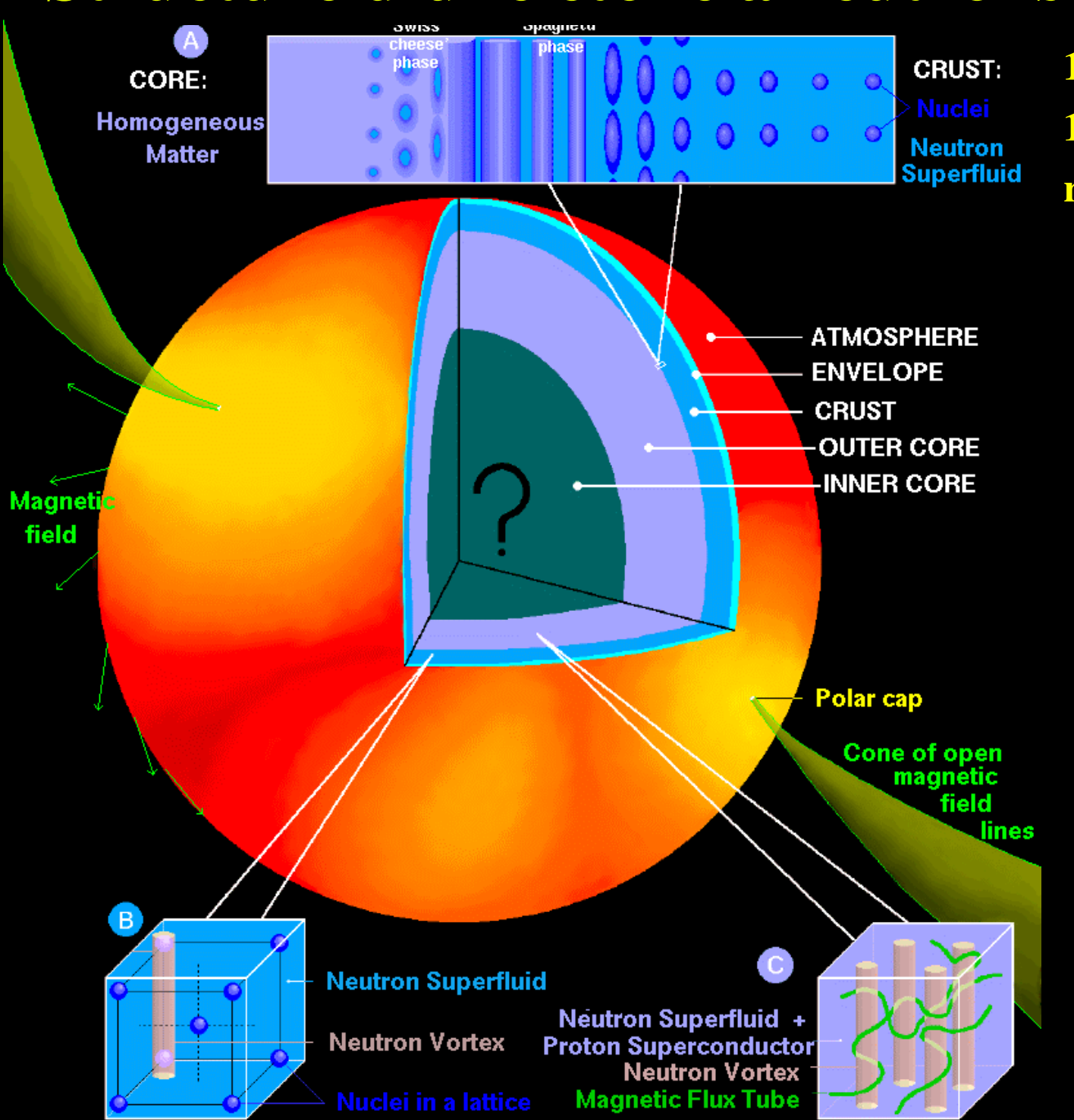
A l'avenir:

- Interactions noyau,
- X Perfectionnement des modèles microscopiques.

Des noyaux aux étoiles à neutrons



Structure d'une étoile à neutrons

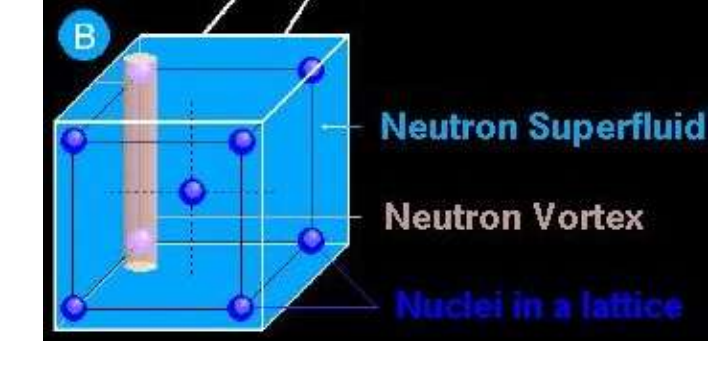


1.5 Masse solaire10 km de rayonrotation (10-1000 ms)

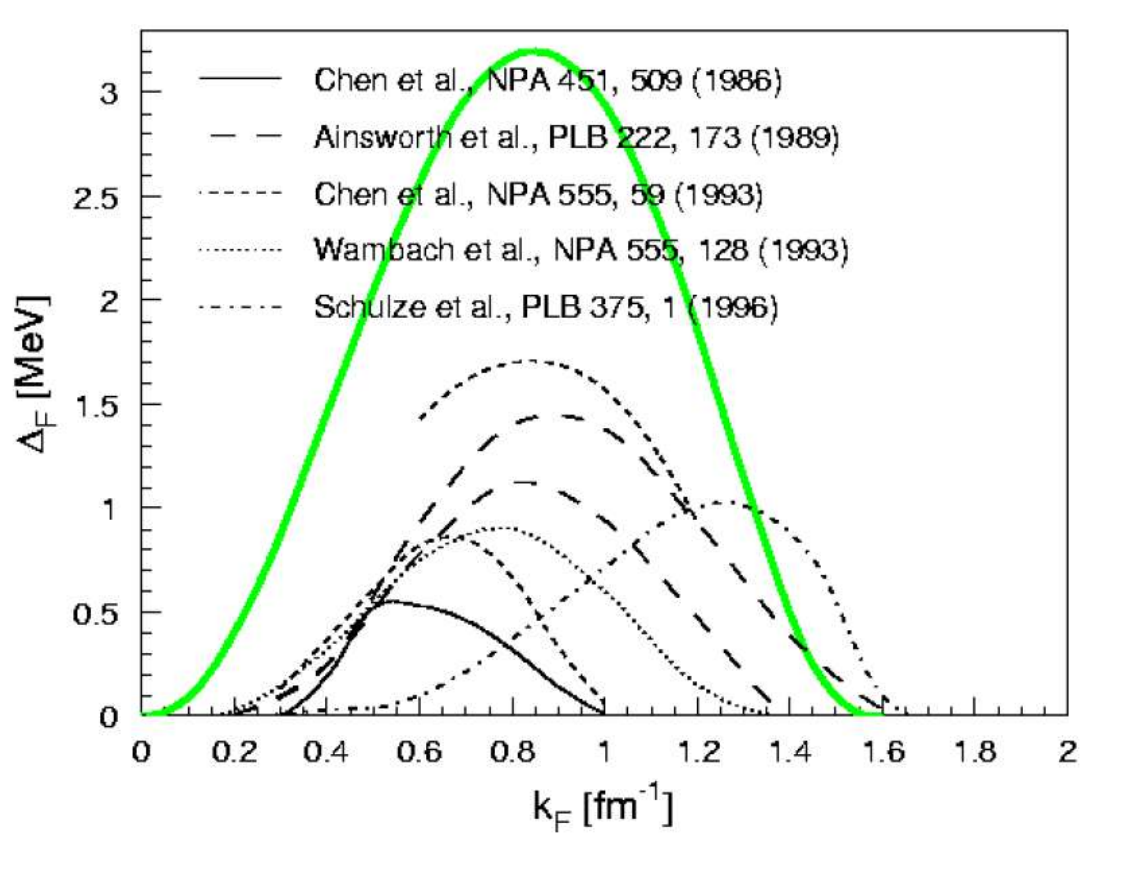
10¹¹-10¹⁴ g/cm³

Ecorce des étoiles à neutrons

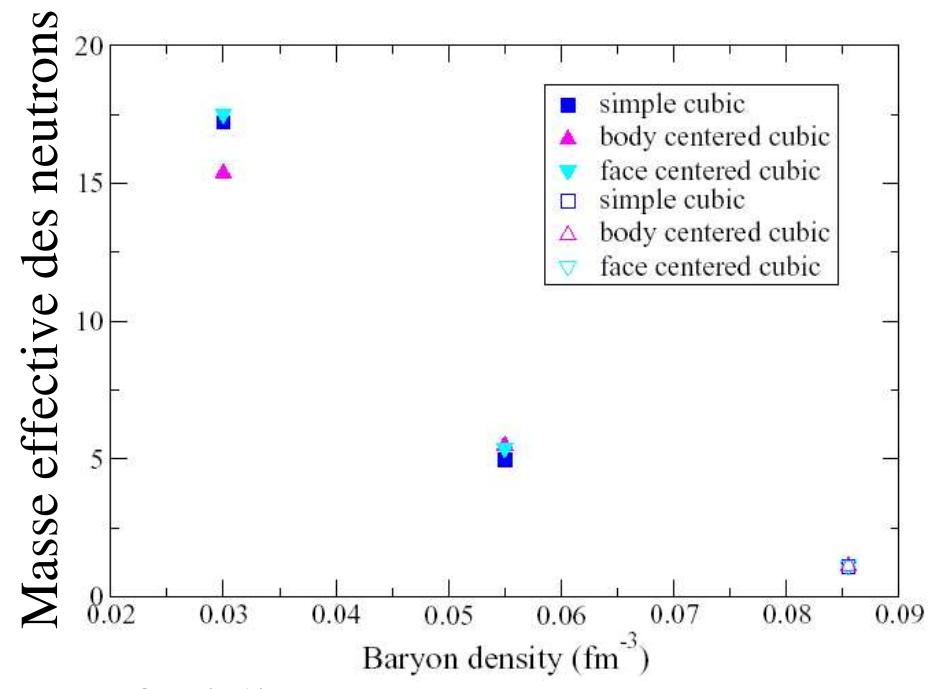
Vortex superfluides attachés au cristal



→ Comprendre l'appariement à basse densité



→ Comprendre le couplage des vortex au cristal



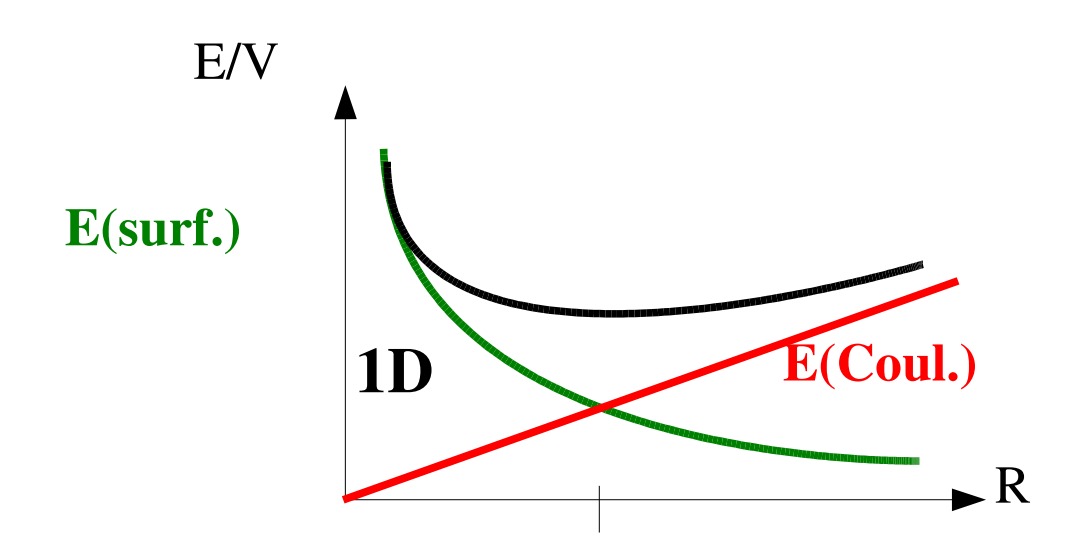
- → Refroidissement,
- → Glitches,
- → Oscillations de surface.

 $\sim 10^{14} \text{ g/cm}^3$

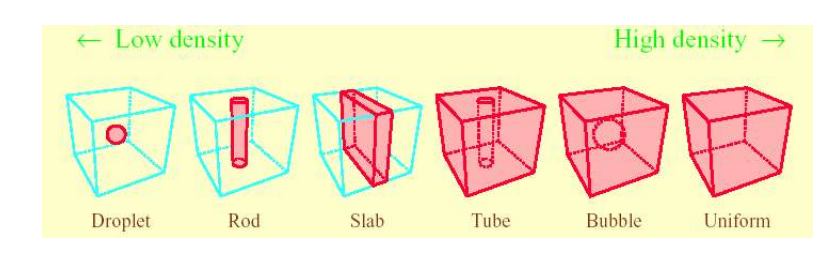
Homogeneous Matter Swiss Spaghetti CRUST: Nuclei Neutron Superfluid

Pasta-Phases:

Transition de phase dans un système frustré!



<u>Historique :</u>
Negele-Vautherin
Bonche-Vautherin

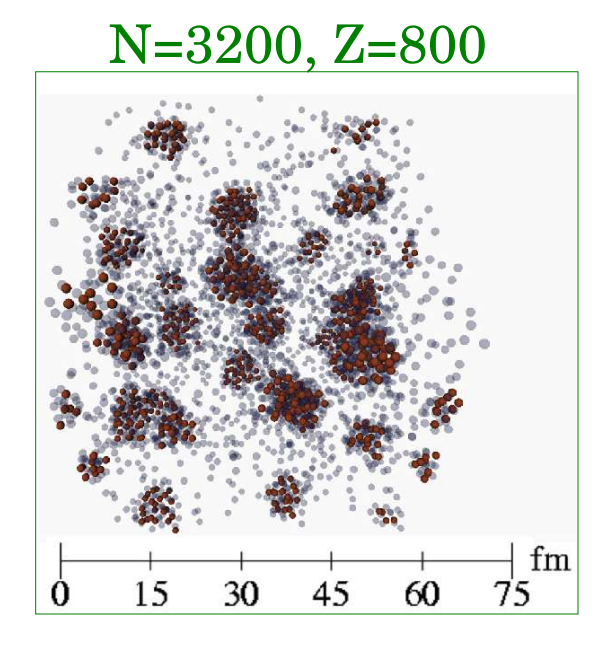


→ Application des outils développés en multifragmentation

Exemple: Modèle semi-classique configurations générés par métropolis

T=1 MeV, $Y_e = 0.2$, $\rho = 0.01 \text{ fm}^{-3}$

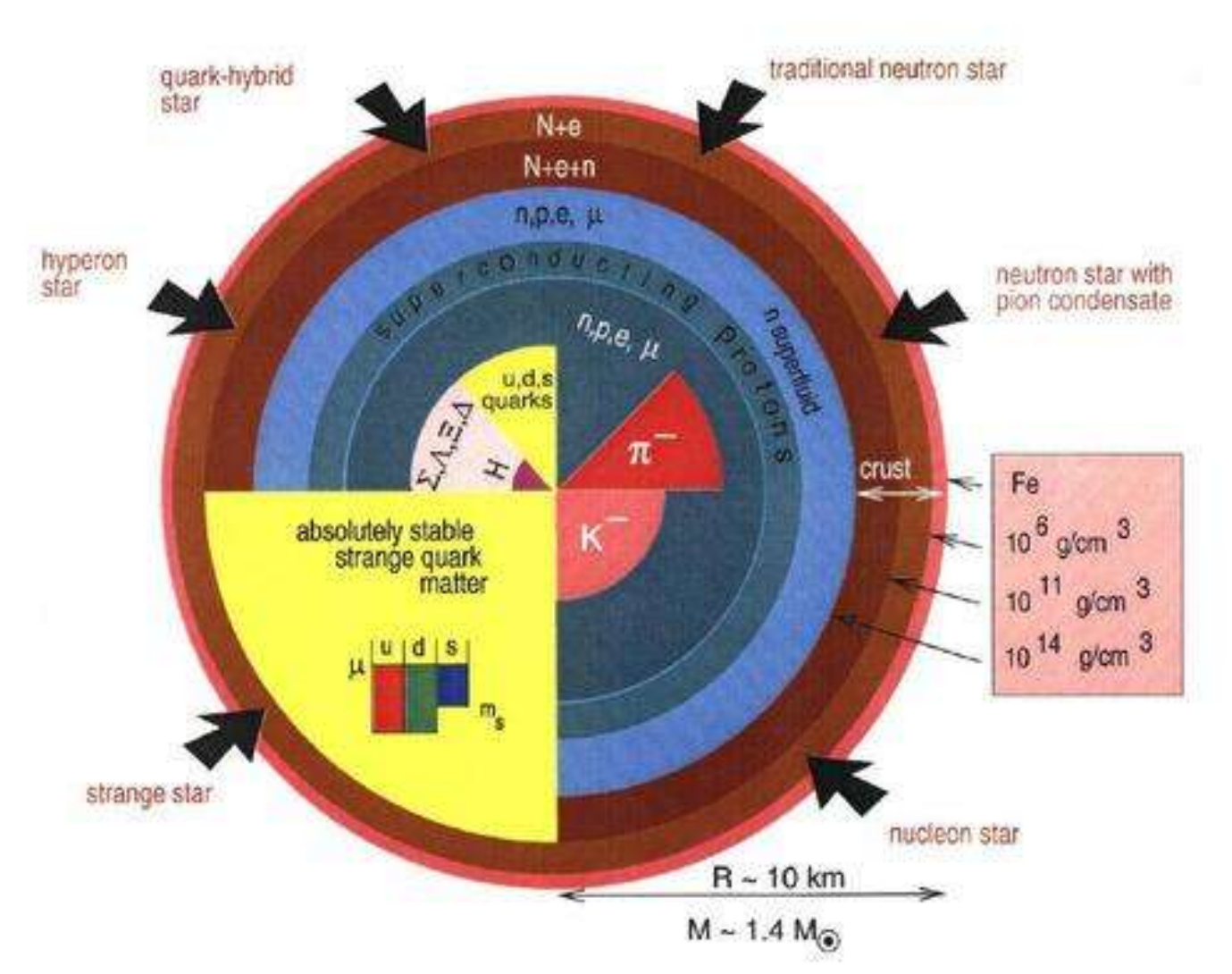
et aussi AMD ...



 $> 3.10^{14} \text{ g/cm}^3$

Région centrale du résidu

Qu'est-ce qu'une «étoile à neutrons»?



X Etoile de neutrons?

X Condensât de pions ?

X Condensât de Kaons?

X Etoile étrange ?

X Rôle des Hypérons?

X Etoile hybride?

Equation d'état de la matière nucléaire

Noyau dis moi tout !!

J.-P. Blaizot (~80) : mode résonant monopolaire → incompressibilité

Interactions nucléaires:

Interactions effectives Interactions réalistes

Skyrme, Gogny Potentiel de Paris

Champ moyen relativiste Potentiel de Bonn

Résultats attendus des études expérimentales :

Diagramme de phase à basse densité

multifragmentation (INDRA).

Dépendance en Isospin

peaux de neutrons, halo, modes collectifs dans les noyaux exotiques, multifragmentation asymétrique en isospin (FAZIA).

Diagramme de phase à haute densité

déconfinement des quarks (CBM GSI).

Cf. Dynamique et thermodynamique nucléaire, Rémi Bougault.

Cf. *Plasma - quark - gluon*, Session 2.

Prospectives pour les modèles de supernovae et d'étoiles denses

De nombreuses questions à résoudre

- **X** Interactions ∨ matière, ∨ noyau ;
- Processus r de la nucléosynthèse ;
- X Propriétés des écorces des étoiles à neutrons ;
- X Equation d'état de la matière dense.

Projets en reflexion : être aussi capable d'appliquer nos résultats in-situ.

Développement d'un modèle de supernova type II associant : propagation des neutrinos, vents neutriniques, nucléosynthèse, éjection de matière ;
Modèle d'étoile à neutrons.

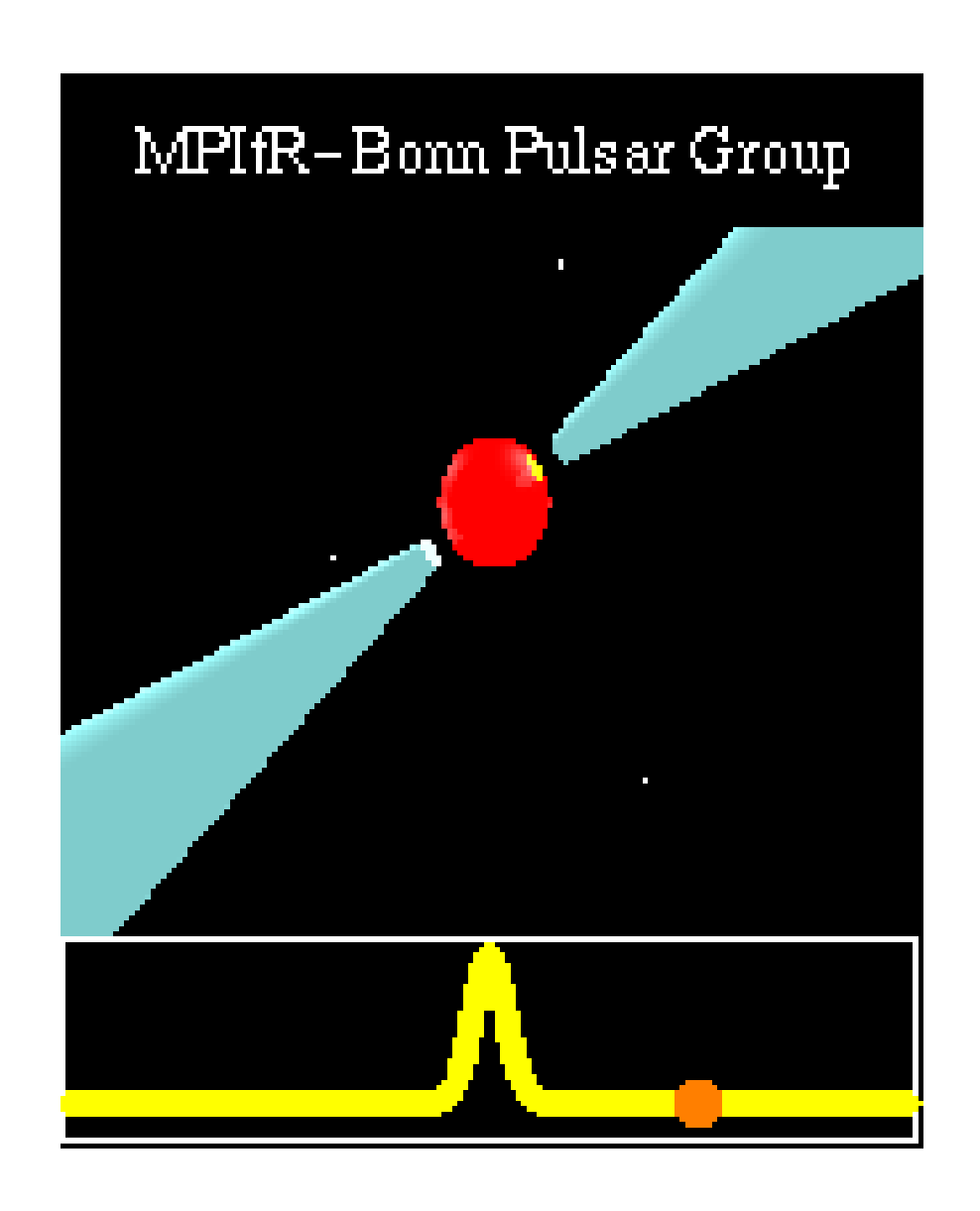
Perspectives

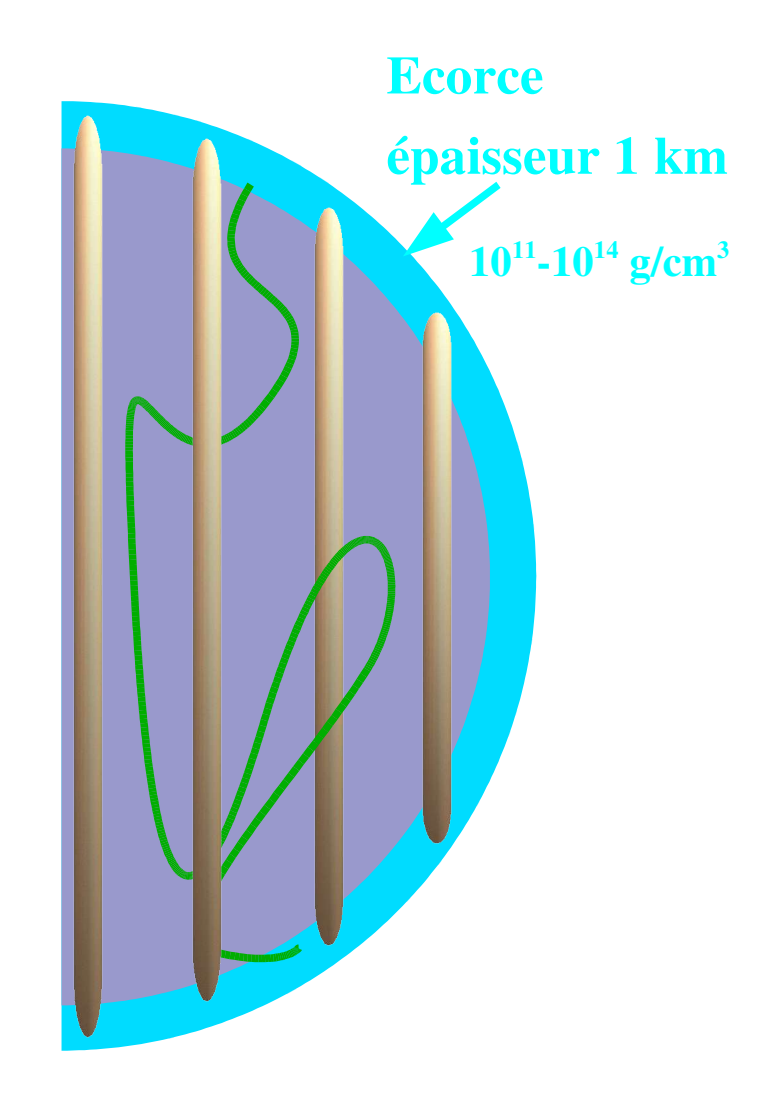
Nouveaux faisceaux & nouvelles observations → nouveaux modèles

- X Qu'est-ce qu'une «étoile à neutrons»?
- **X** Interactions v matière :
 - **→** Effets du milieu nucléaire (excitation multipaires)
 - **→** Opalescence critique des neutrinos
- X Interactions ∨ noyau :
 - → Lien avec la nucléosynthèse (vents neutriniques, hydrodynamique)
 - **→** Physique des neutrinos

X Processus r:

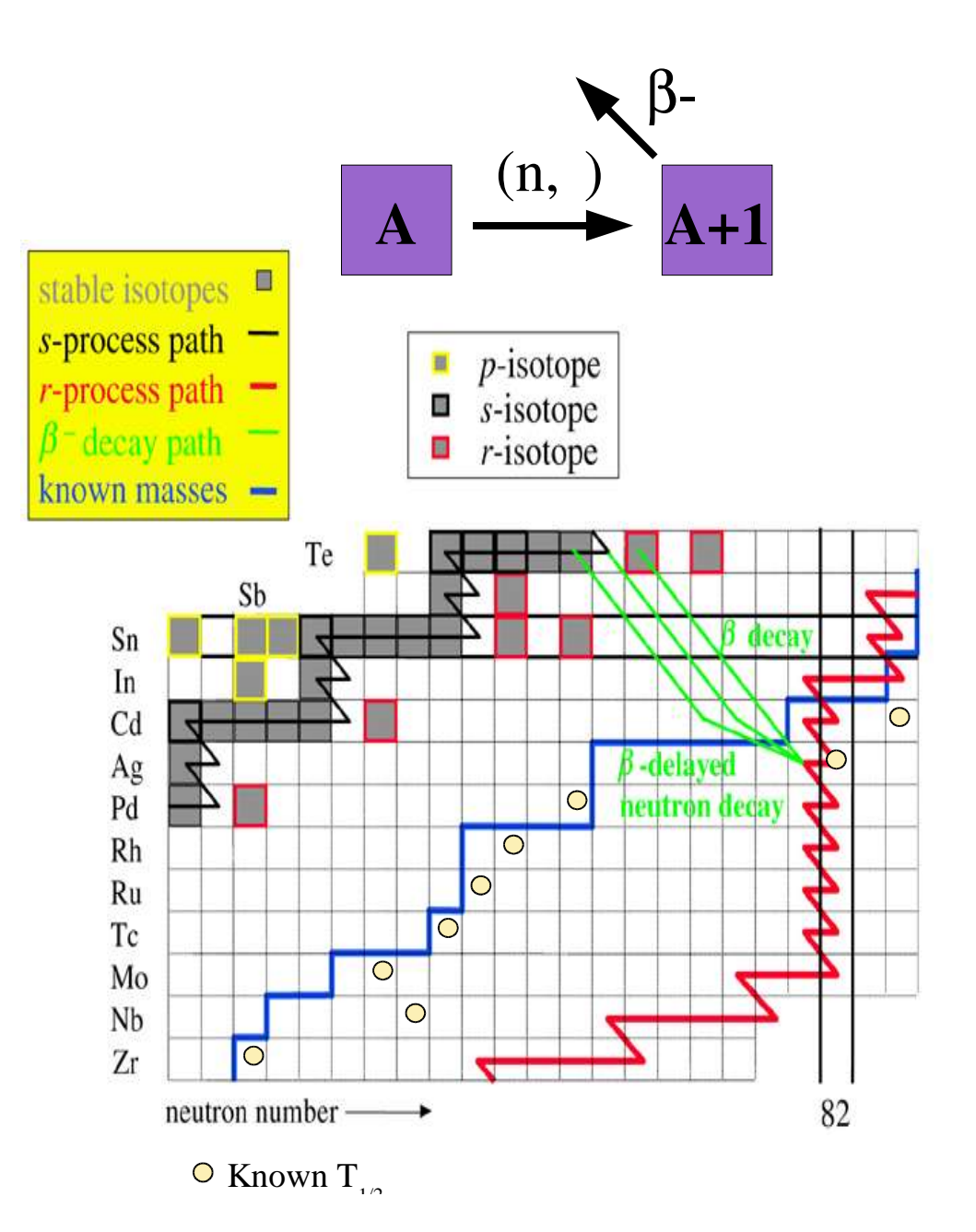
- → Nouvelles mesures, nouveaux modèles
- → Site: Onde de choc, coalescence finale d'étoiles à neutrons doubles
- X Ecorce des étoiles à neutrons :
 - → Nouvelles propriétés de la matière (appariement, masse effective)
 - → Interaction Coulombienne dans les pasta phases





Processus r de la nucléosynthèse

une nouvelle aire de modèles



Observables nécessaires :

- X Energie de séparation neutron,(Fermeture de couche)
- X Temps de ½ vie,
- X Taux de capture de neutrons,
- X Interaction -noyau.

<u>Lien Théorie – Expériences</u>

Il est impossible de mesurer toutes les observables

→ Théorie nucléaire indispensable validée sur quelques mesures.

Des noyaux aux étoiles denses

Comprendre l'univers grâce aux laboratoires terrestres

Effondrement gravitationnel:

- Aspects hydrodynamiques;
- Couplage neutrinos matière nucléaire : temps de diffusion, opalescence ;

Onde de choc:

- Réchauffement par vents neutriniques ;
- Site possible pour la r-nucléosynthèse ;

Région centrale de l'étoile à neutrons :

- Equation d'état de la matière dense ;
- Effets de la température, de l'asymétrie d'isospin ;

Ecorce de l'étoile à neutrons :

- Pasta-phases;
- Couplage du superfluide de neutrons à l'écorce ;

Systèmes d'étoiles doubles

DAPNIA Saclay

GANIL Caen

IPN Lyon

IPN Orsay

LUTH Meudon

Historique rapide

1880, Camille Flammarion à propos du soleil

«La chaleur émise par le soleil à chaque seconde est égale à celle qui résulterait de la combustion de 10²⁴ tonnes de <u>charbon</u> de terre brûlant ensemble.»

1932, Découverte du neutron,

Landau suggère l'existence des étoiles à neutrons

1939, 1^{er} modèle d'étoile à neutrons (TOV)

1957, 1^{er} modèle d'étoile sur séquence principale (B²HF)

1966, 1^{er} calcul quantitatif de supernovae (scénario prompt)

1967, Observation d'un pulsar radio

1984, Scénario retardé (vents neutriniques)

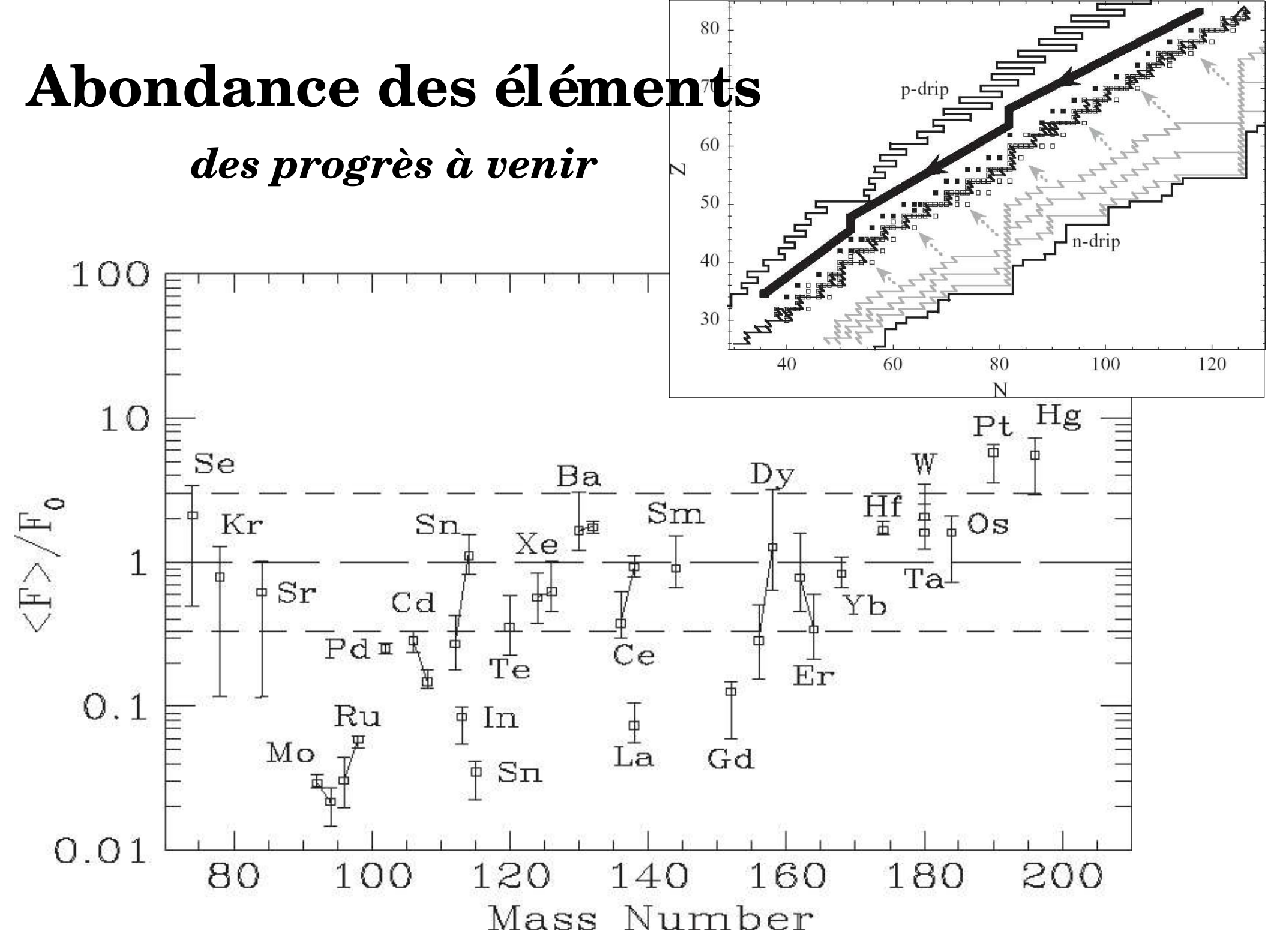
1987, Obervation en direct d'une supernova

?? restes de supernovae

1200 pulsars radio

200 pulsars X

6 Etoiles à neutrons doubles



Onde de choc

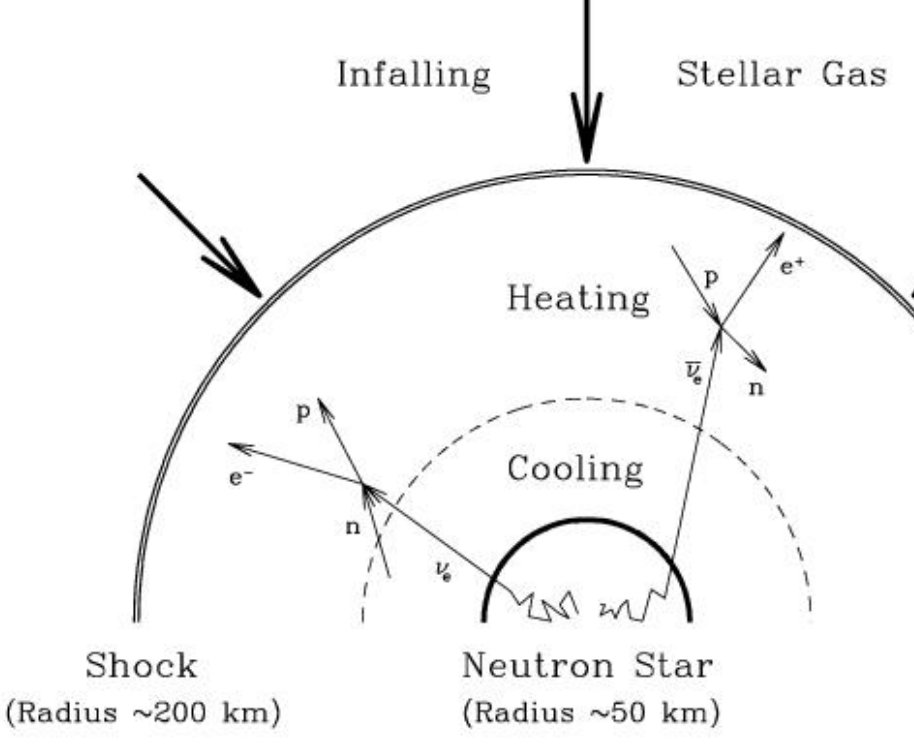
Comment la rechauffer?

Vents neutriniques: Interaction -noyau

- → Calculs théoriques sections efficaces
- → Beta-beams de basse énergie
- → Physique des neutrinos

Cf. Neutrinos dans l'univers,

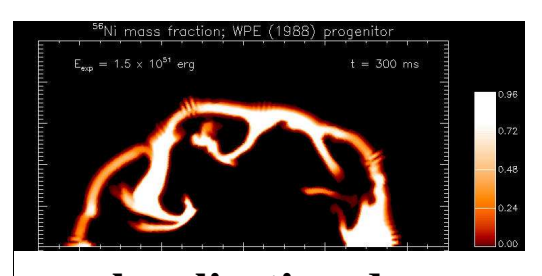
Cristina Volpe.



Autres mécanismes ???

Cf. Univers thermonucléaire,

- → Convections, champ magnétique, ... J.-P. Chièze.
- → 2^{ème} explosion centrale
 (EN → trou noir, effets dynamiques)
 - → Site possible pour le processus r ?
 - → → développement de modèles hydrodynamiques associant vents neutriniques + nucléosynthèse

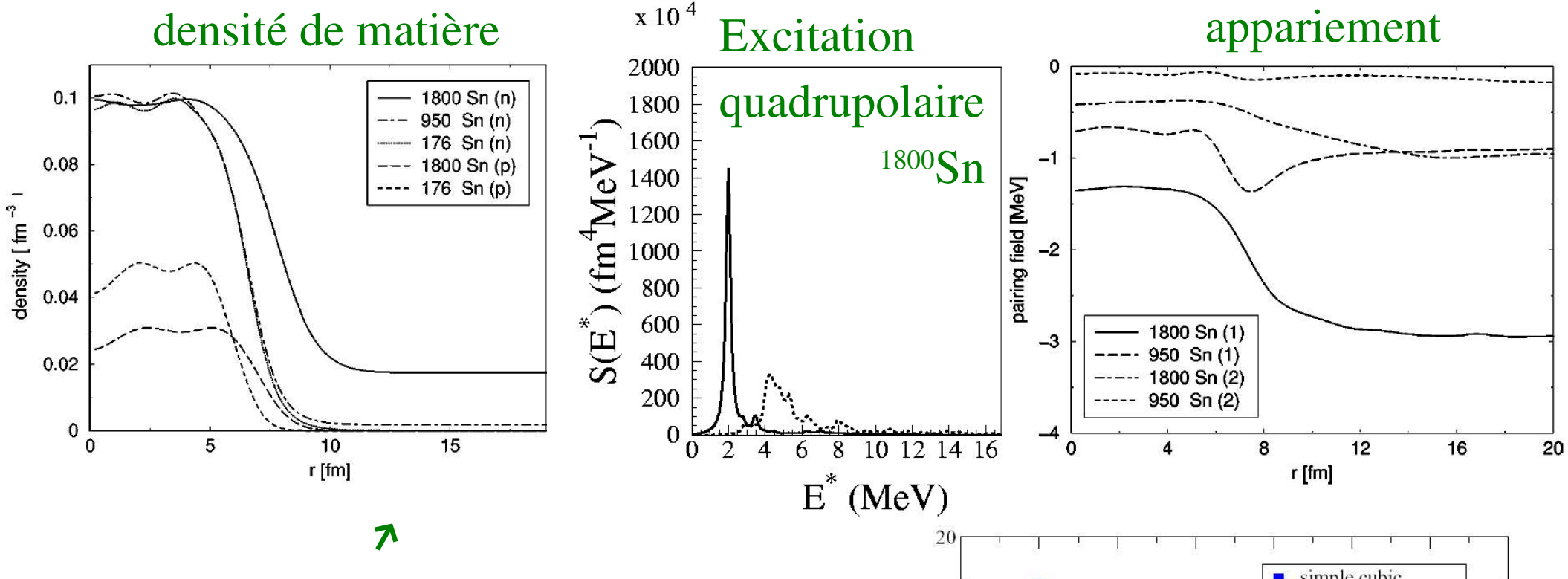


localisation du 56 Ni, $t \sim 0.5 s$

10¹¹-10¹⁴ g/cm³

Ecorce des étoiles à neutrons

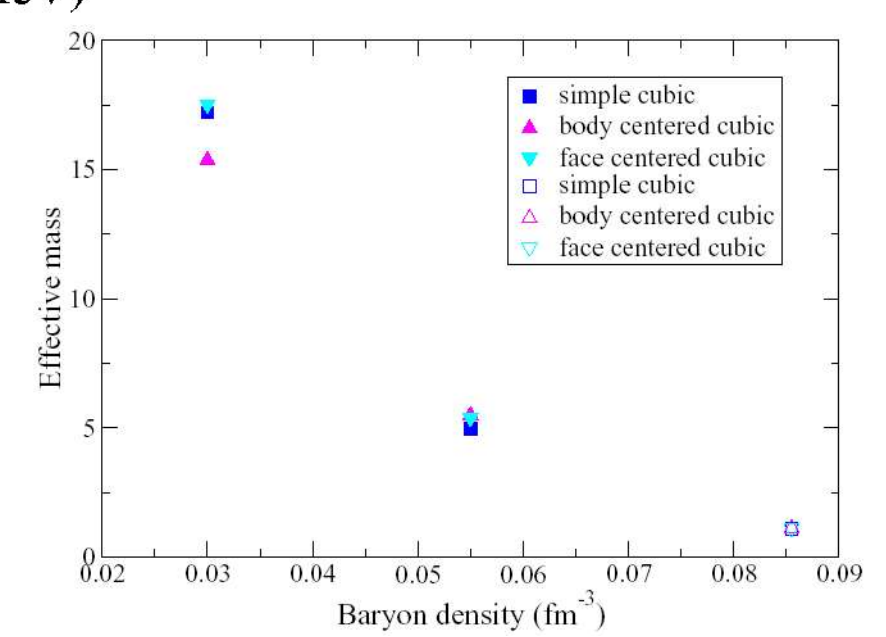
cristal baigné dans un fluide de neutrons



<u>Calcul Hartree-Fock Bogoliubov:</u>

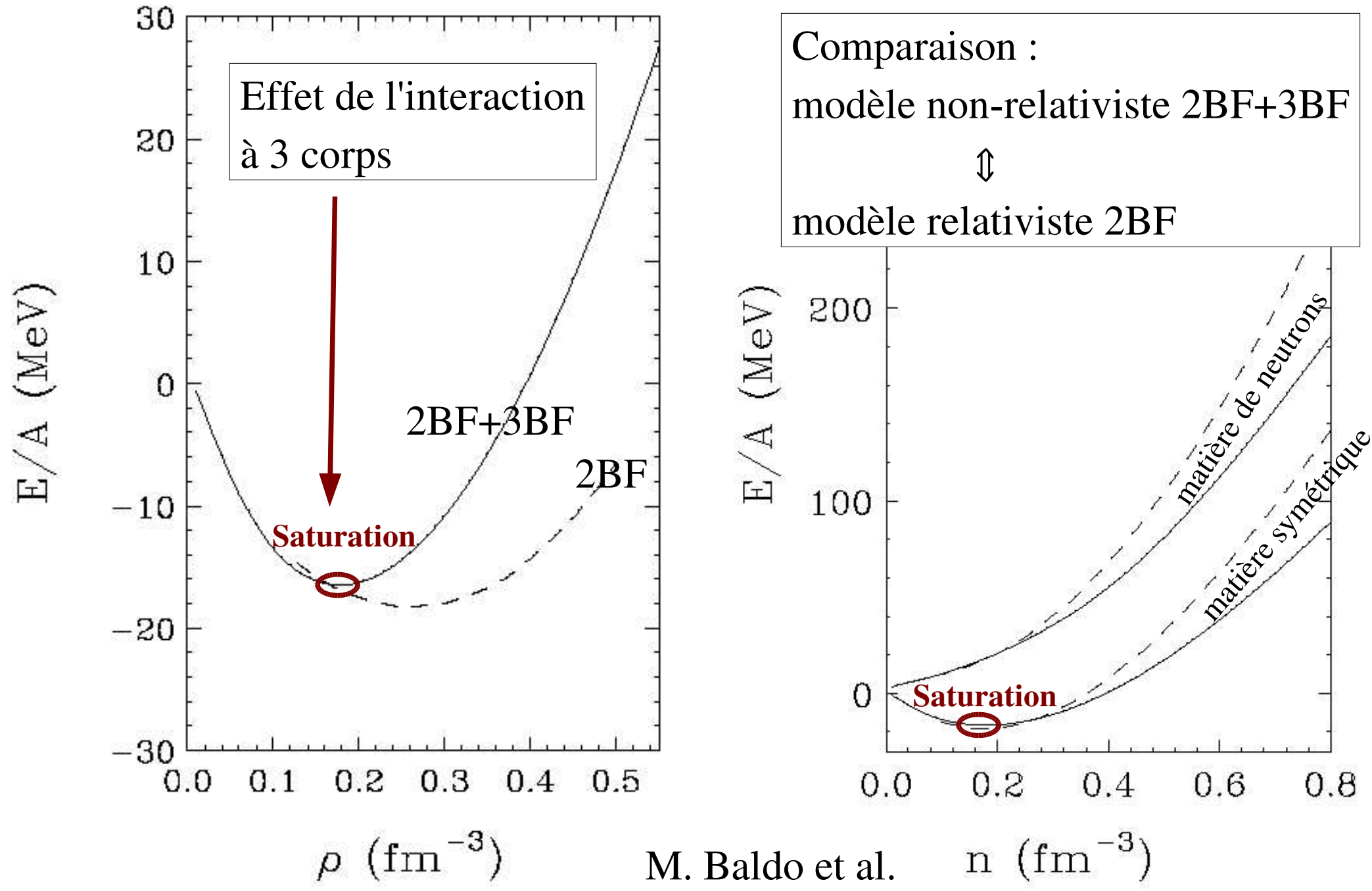
Résolution des équations de diffusion : Modification de la masse des

neutrons par diffusion sur le cristal



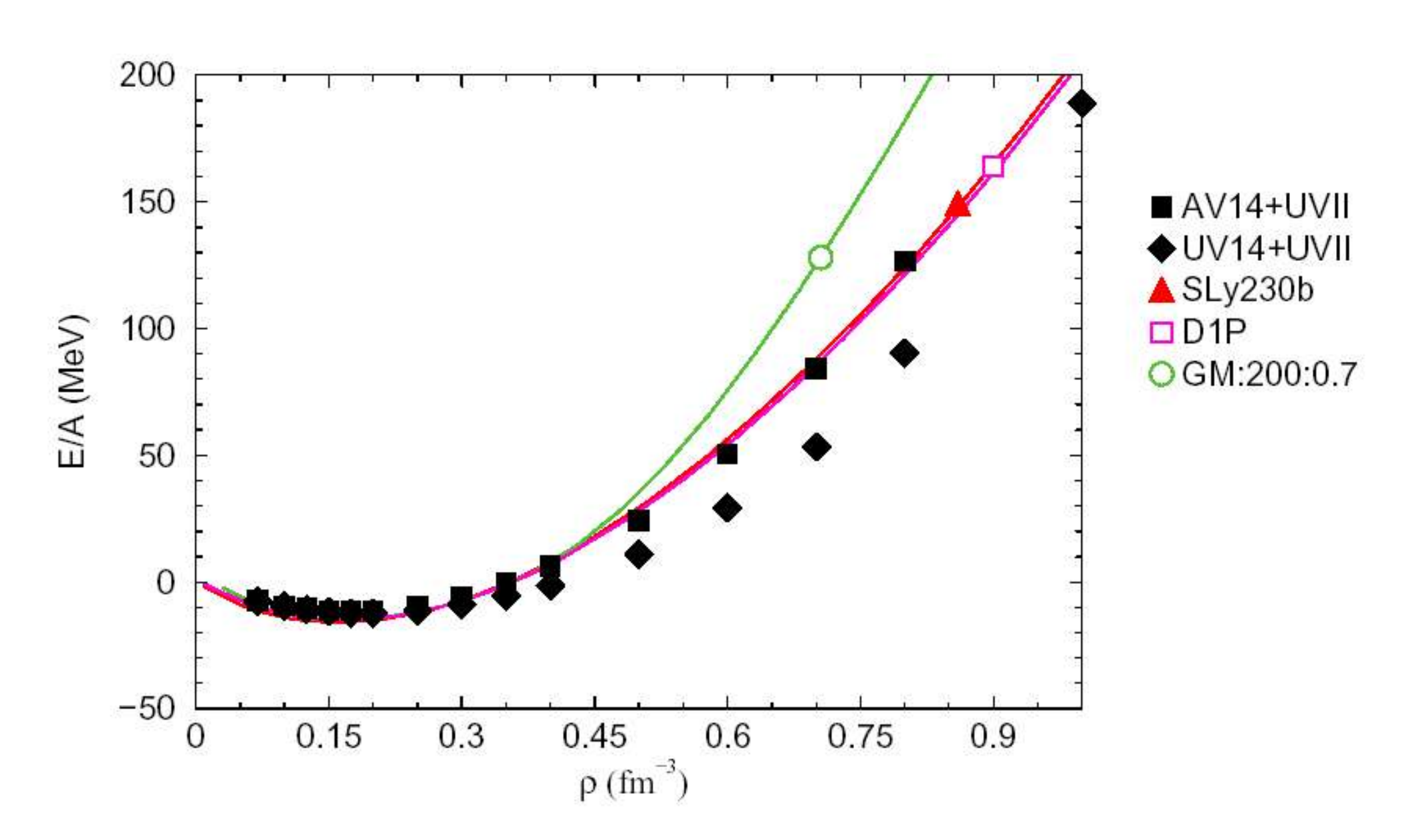
Equation d'état de la matière nucléaire





Equation d'état de la matière nucléaire

Contrainte des modèles effectifs



Systèmes binaires

moitiée des étoiles compactes observées

Source de rayons X

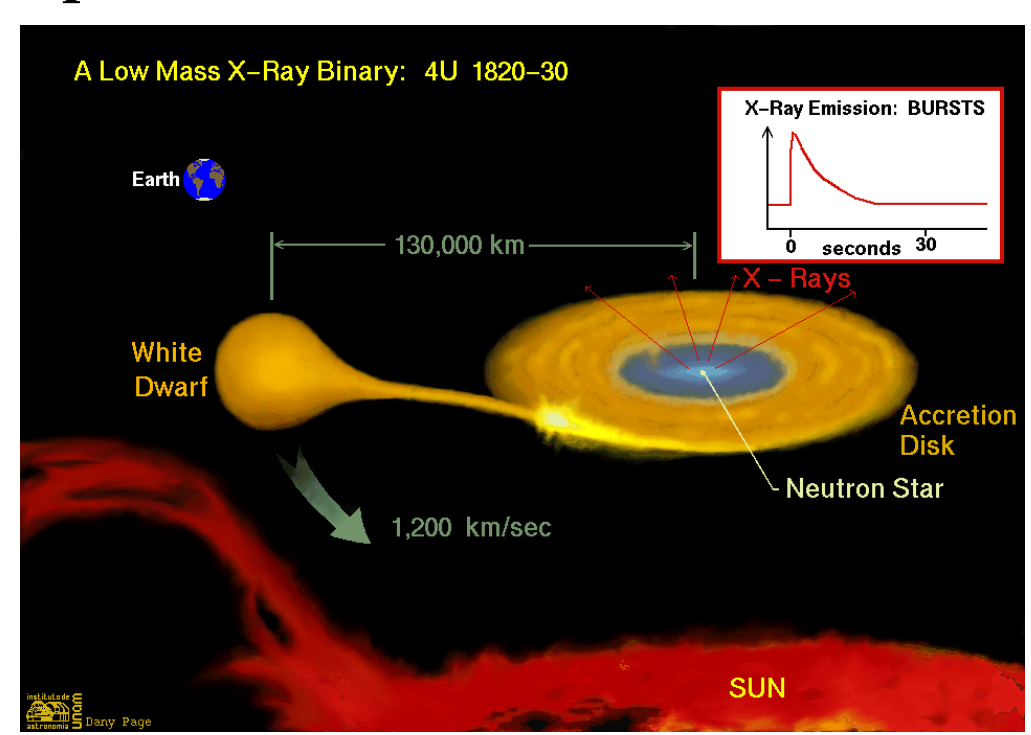
Etoile à neutrons accrétant la matière d'un compagnon

→ processus rp

Source d'ondes gravitationnelles

Système double d'étoiles compactes (oscillations périodiques, coalescence finale)

- → Equation d'état de la matière dense
- → processus r



Les perspectives dépendent aussi très

fortement des observations

4

Proto-étoiles à neutrons

Matière chaude et asymétrique.

Flux de neutrinos provenant d'une SN proche.

Etoiles à neutrons

Propriétés de la croûte, Pairing. Refroidissement (X, ...),

Glitches,

Sursauts γ.

Etoiles hybrides – Etoiles étranges

Déconfinement des quarks.

Fréquence de rotation rapide.

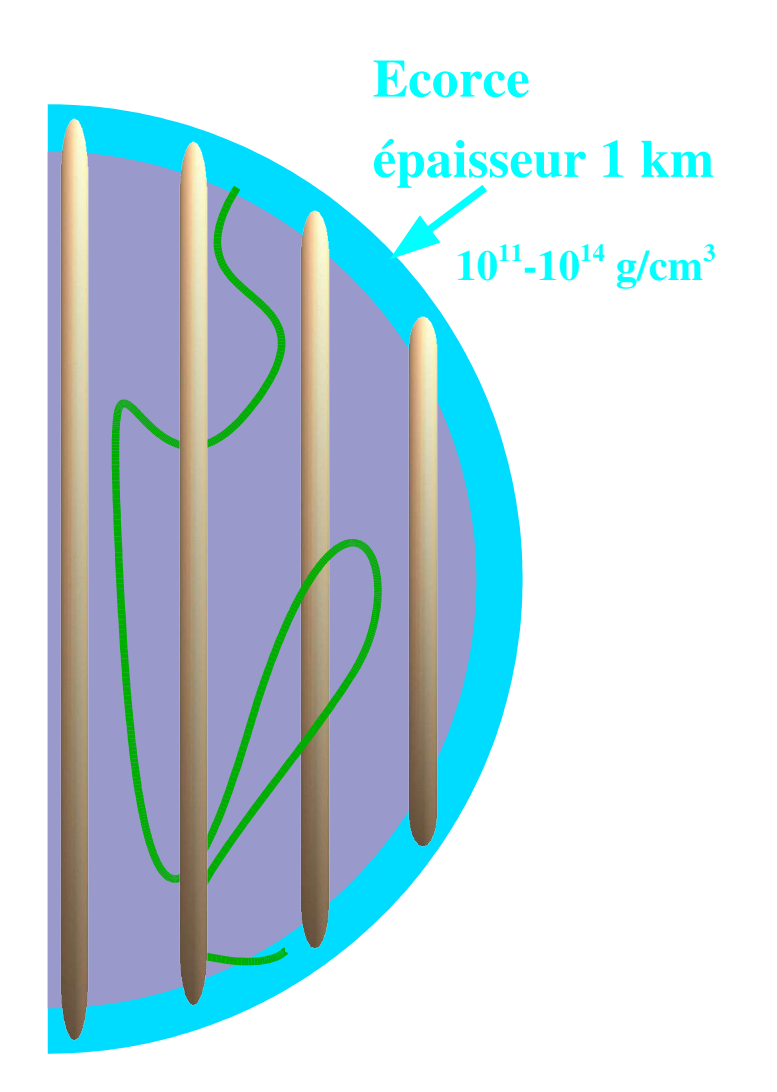
Systèmes binaires

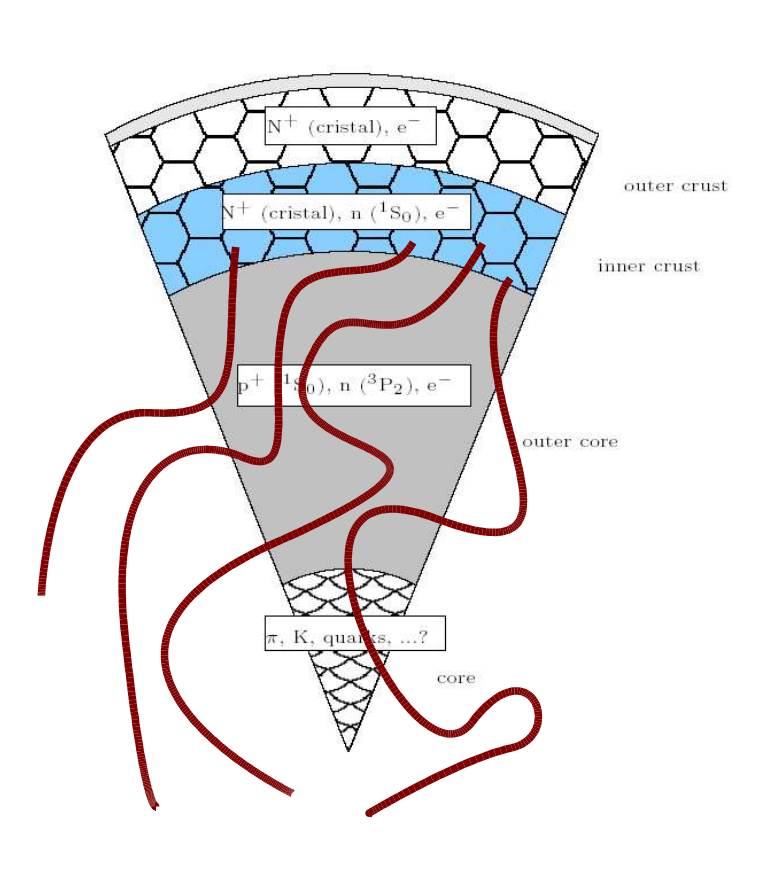
Accrétion, coalescence.

Rayonnement X,
Ondes gravitationnelles.

Perspectives

Expériences en laboratoire Observations Modélisations





Rôle de l'interaction faible dans les SNII

processus

moyens d'étude

ms

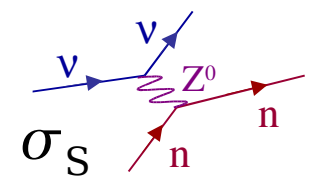
- Capture électronique e⁻+p → n+ Réactions d'échange de charge avec des noyaux exotiques (GANIL, GSI, RIA).

(SuperK, Mégatonne),

Détecteurs

S

- Emissivité neutrinos



$$\sigma_{A}$$
 σ_{A}

S

- Interaction neutrino-noyau

Faisceaux de neutrinos (beta-beam de basse énergie)

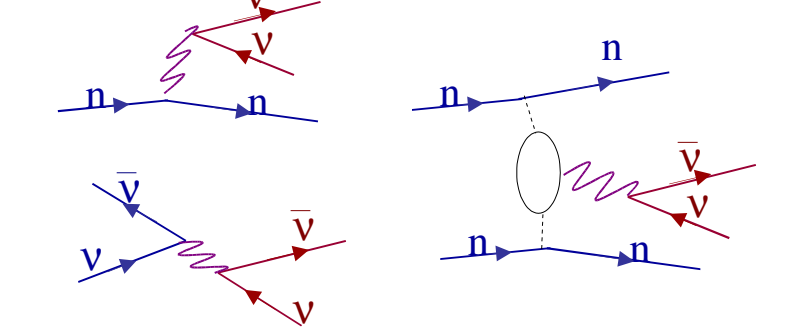
Physique des neutrinos,

basse densités (INDRA).

h

- Opacité neutrinos

Ma

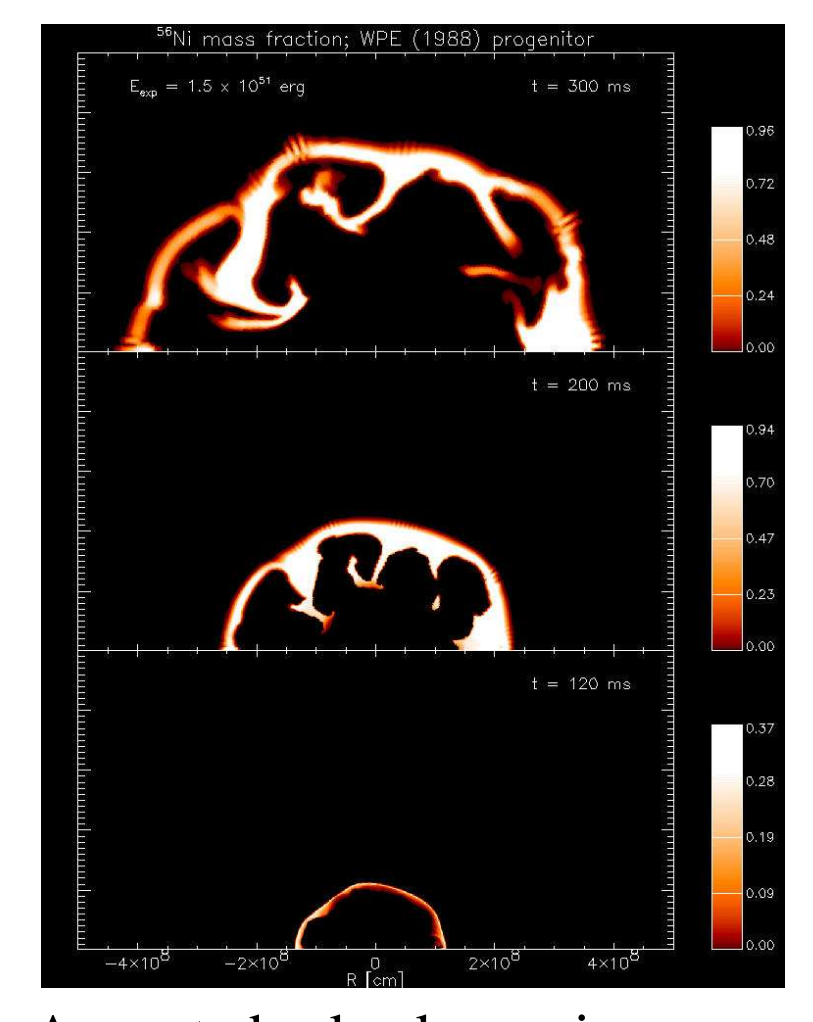


Refroidissement des étoiles à neutrons (Chandra, XMM-Newton), Glitches.

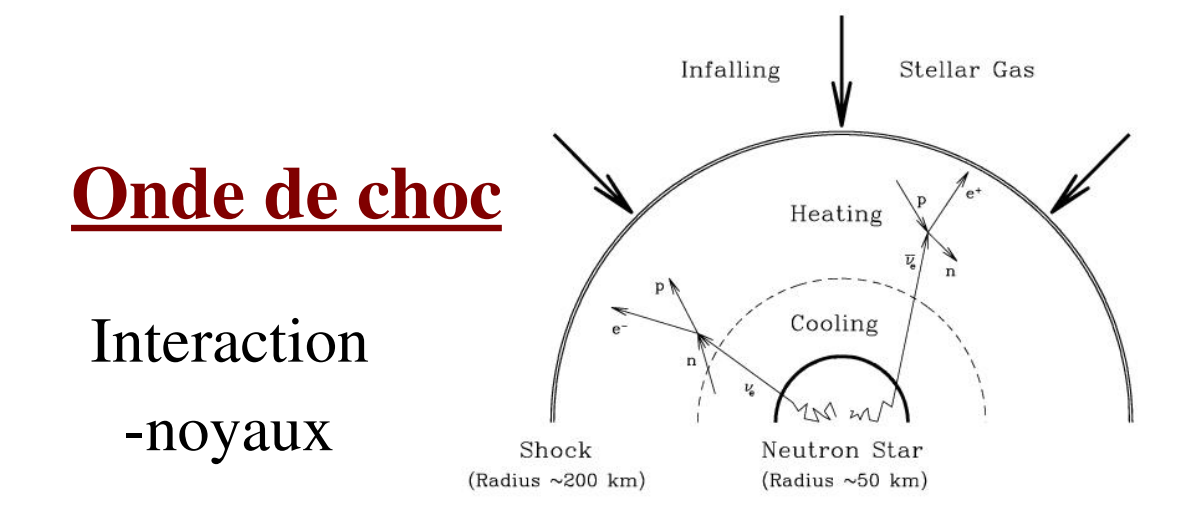
Corrélations dans la matière nucléaire

Problématiques liées aux supernovae II

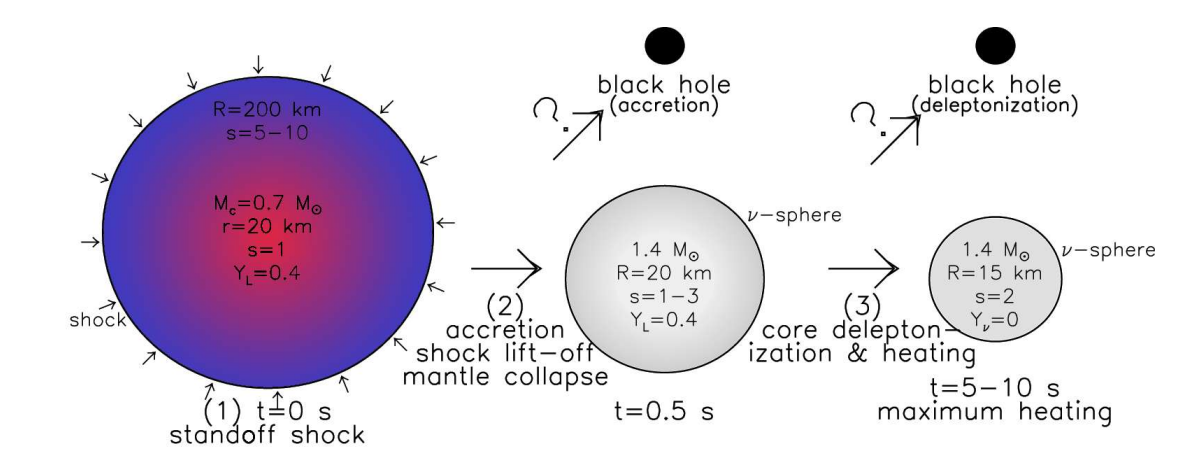
Explosion convective



Aspects hydrodynamiques, Nucléosynthèse éléments lourds

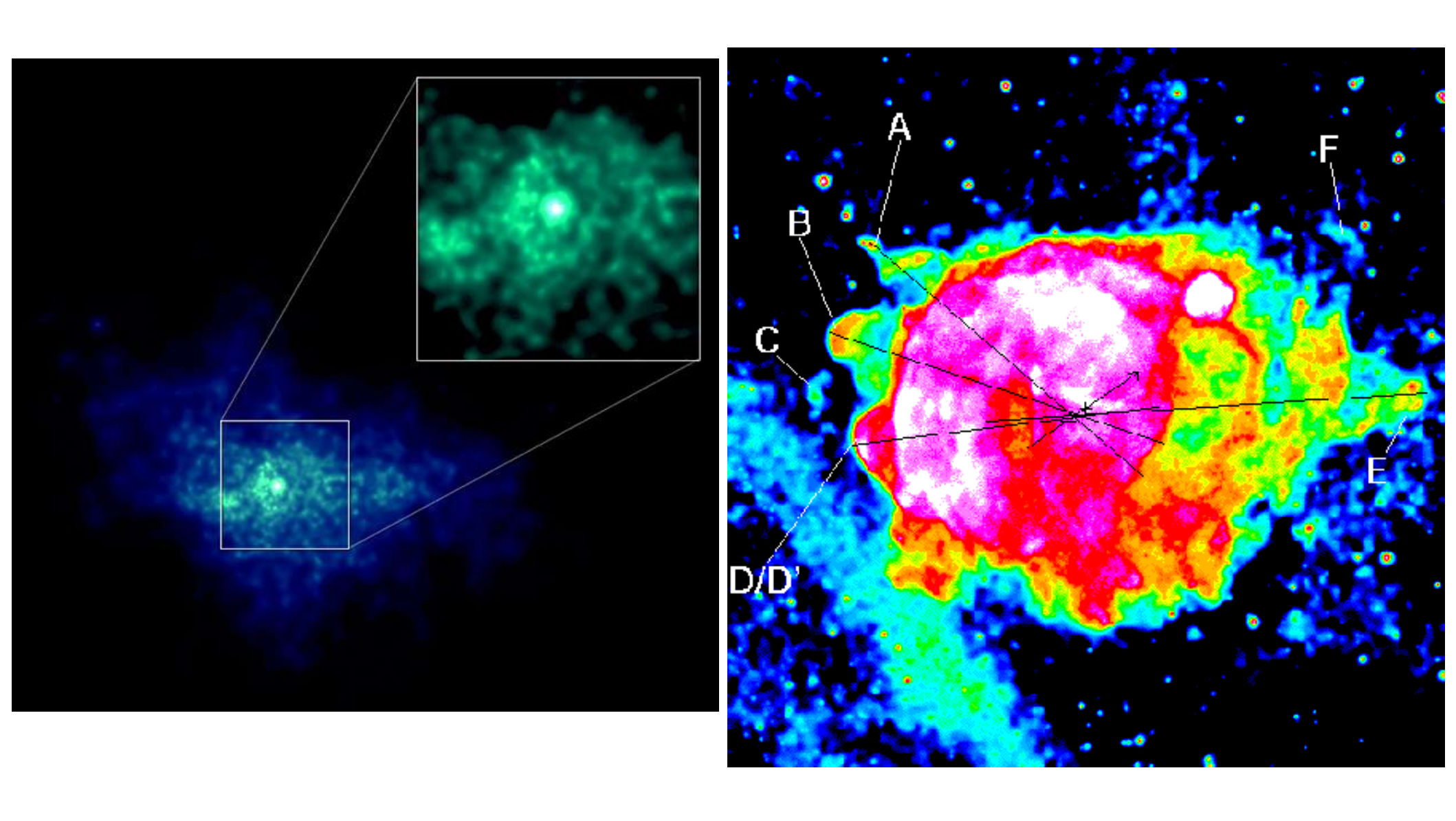


Résidu central

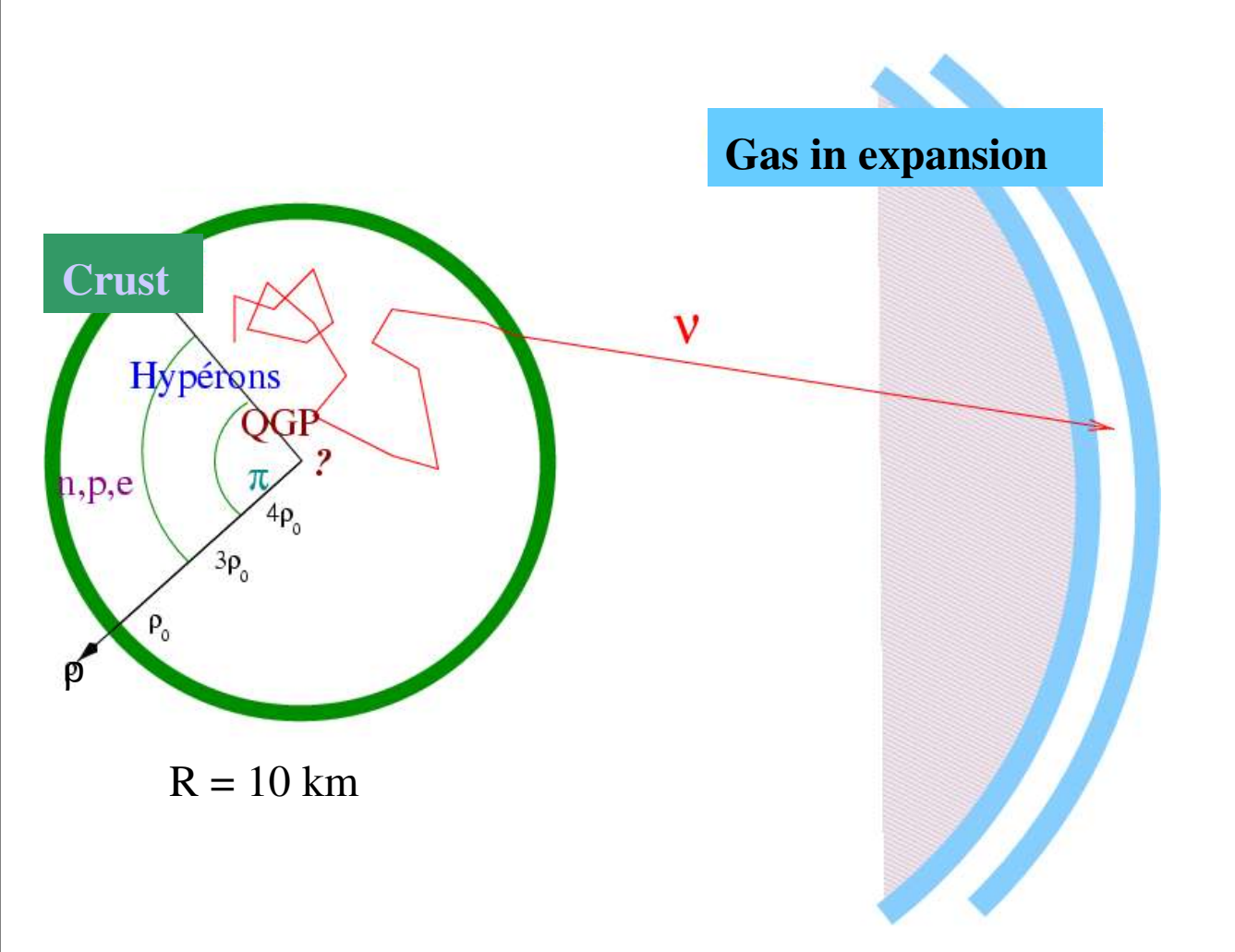


Equation d'état matière chaude asymétrique, Interaction -matière

Vela SuperNova Remnant



Neutrino heating



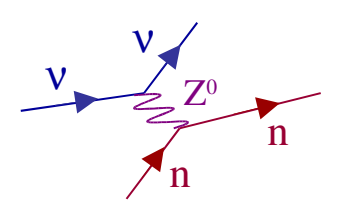
 $0.5 \rho_0 < \rho < 4 \rho_0$

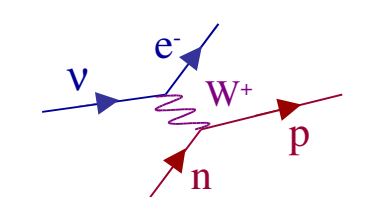
5 < T < 50 MeV

Composition: n, p, e, v

Reactions:

scattering absorption





v "rich" phase

$$Y_1 = \rho_1/\rho_B = 0.4$$
, $E_v = \mu_v$

v "poor" phase

$$\mu_{v} = 0$$
, $E_{v} = 3T$

Model: pure neutron star

Only neutrons

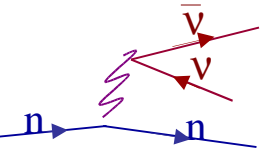
Only scattering reactions

Processus de refroidissement du résidu central

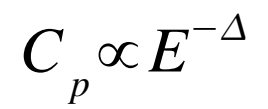
Emissivité:

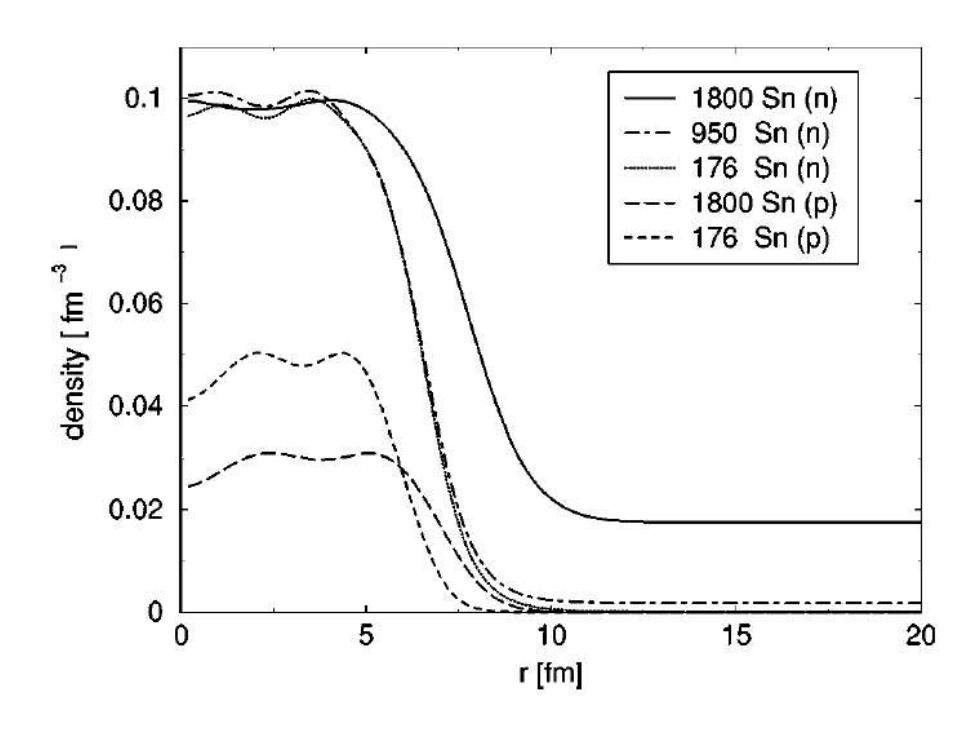


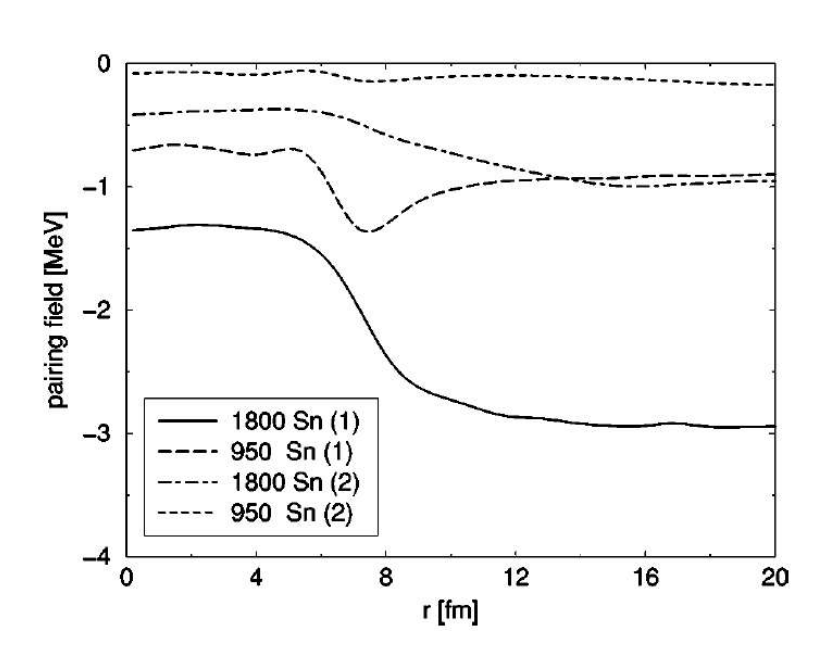
Opacité:

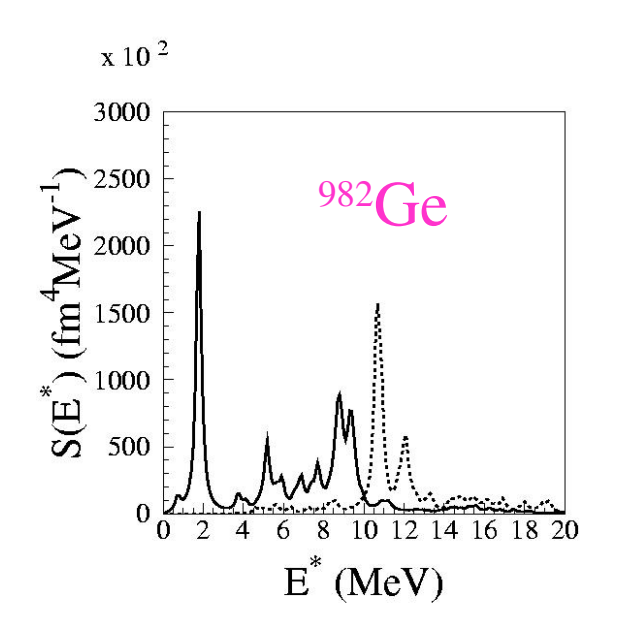


gap, capacité calorifique

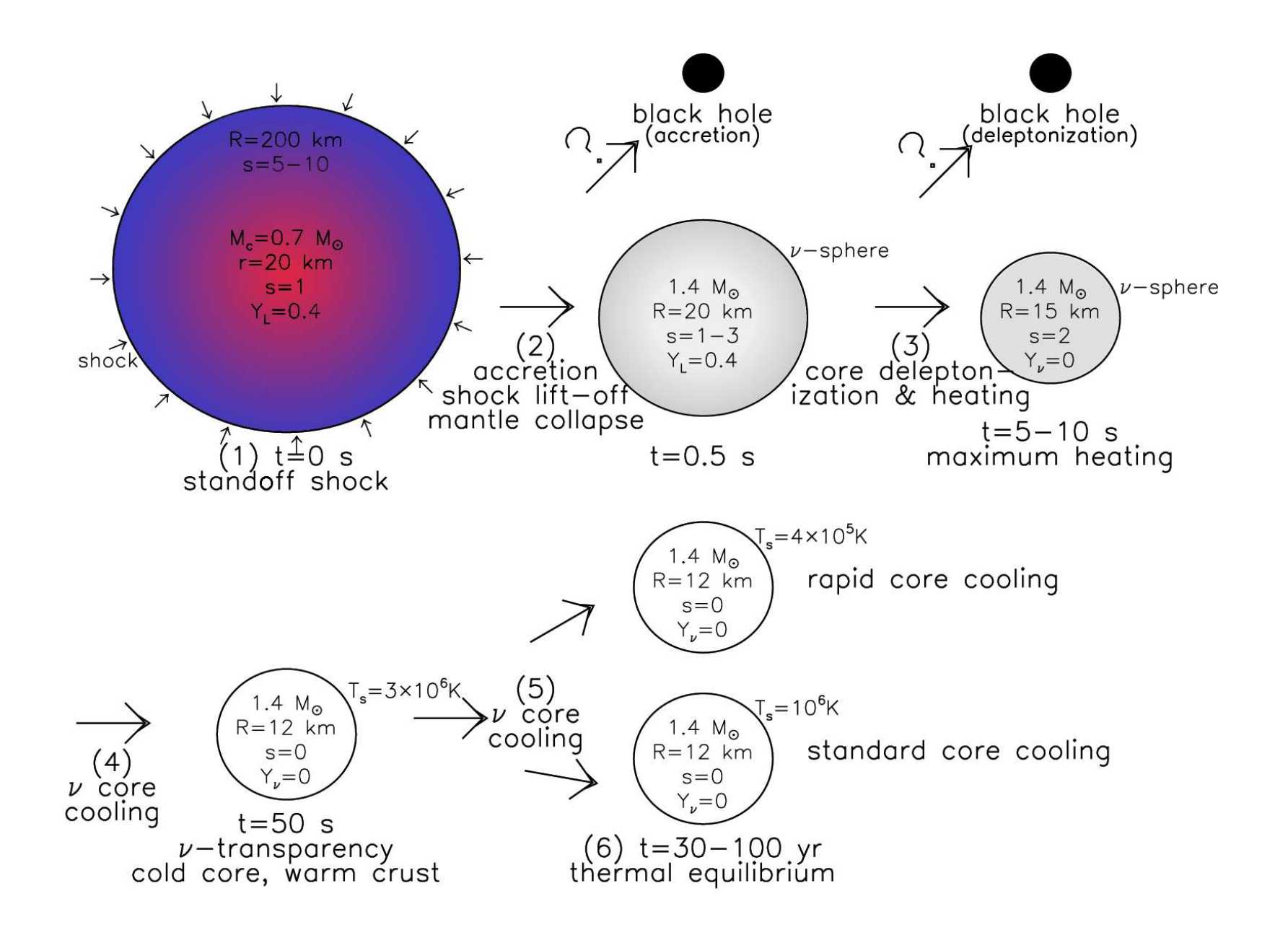






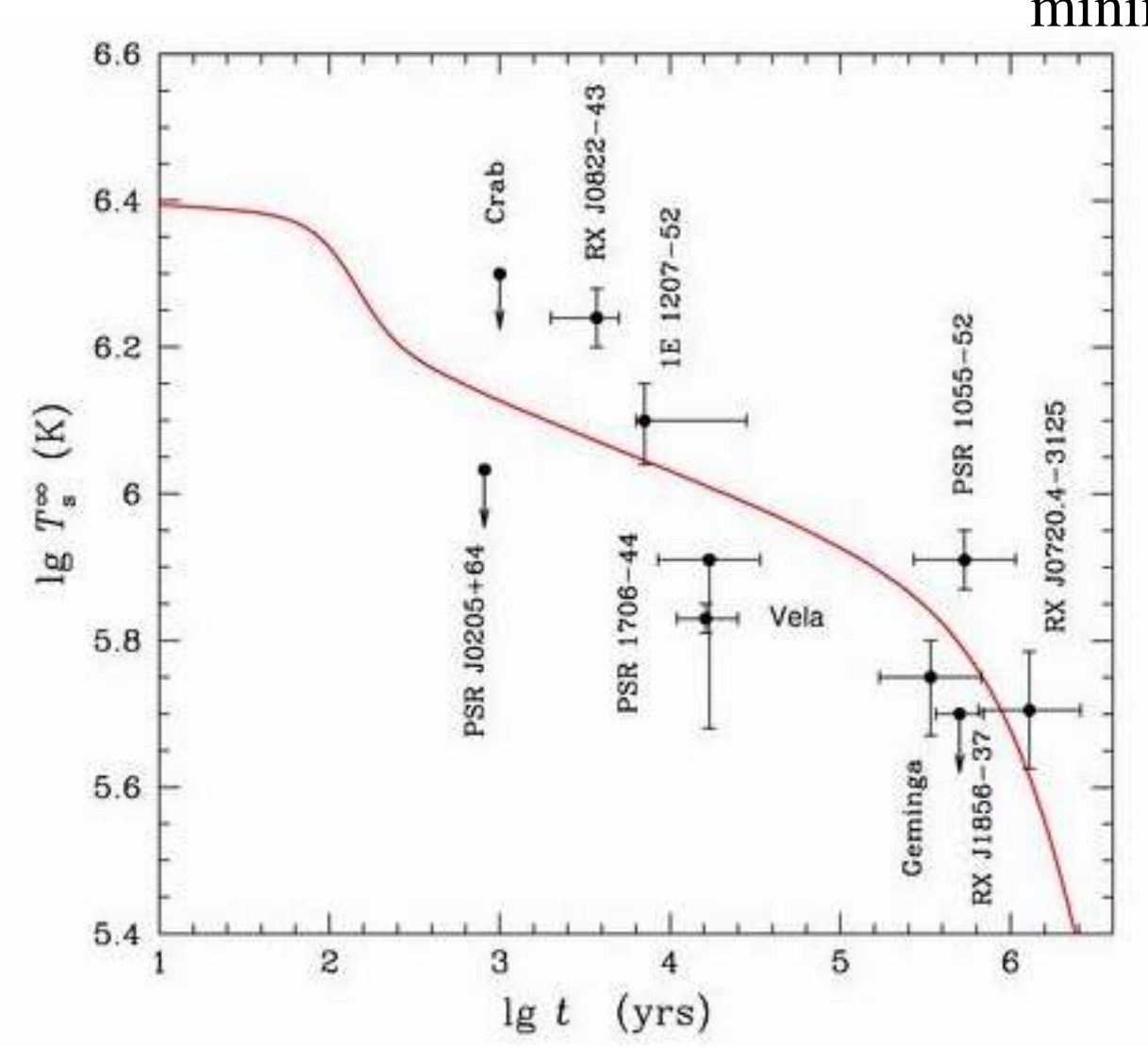


Résidu central des Supernovae II



Refroidissement des étoiles à neutrons

Pairing !! minimal model !!



Taux de captures électroniques

$$e^{-} + p \rightarrow v + n$$

- Fueller (1985): Pendant l'effondrement, Y_e diminue
 - Les noyaux sont de plus en plus riches en neutrons
 - 🗘 capture electronique sur les noyaux bloquée par Pauli

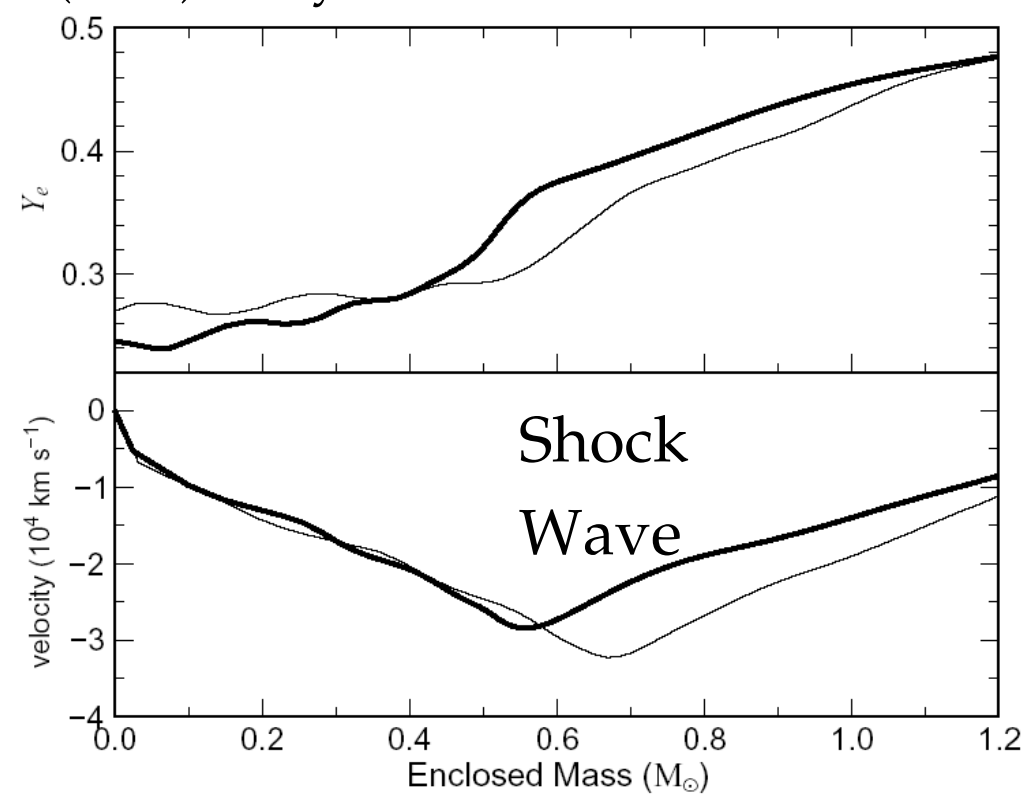
Seuls les protons libres interviennent dans la capture electronique



Bloquage de Pauli réduit par la **temperature** et les **corrélations**

Effet (GT) observé dans ⁶⁸Ni, ⁷²Ge et ⁷⁶Se

Monte Carlo Shell Model pour A=65-112 dans la couche pf-sdg



ZN

Perspectives

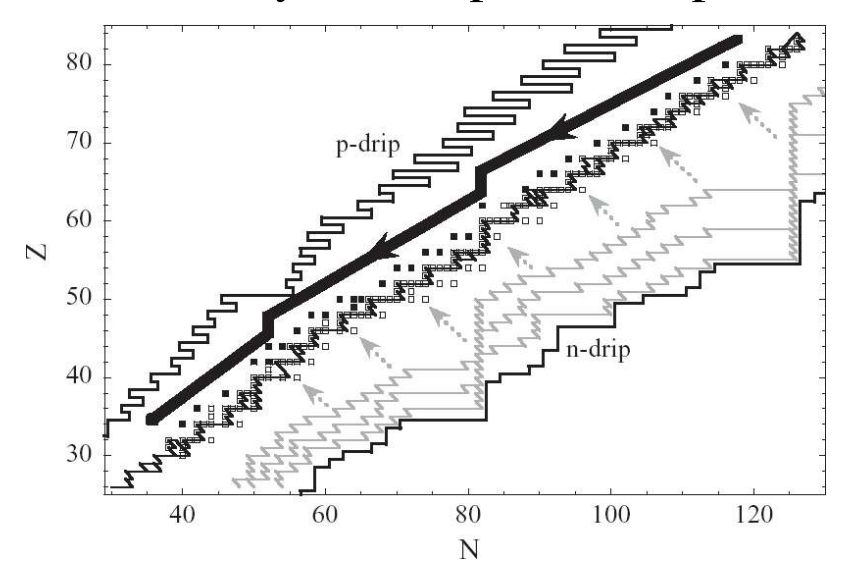
• Nucléosynthèse : généralisation et unification des calculs microscopiques à grande échelle

•RCUHE : effets sur la cheville et la coupure GZK

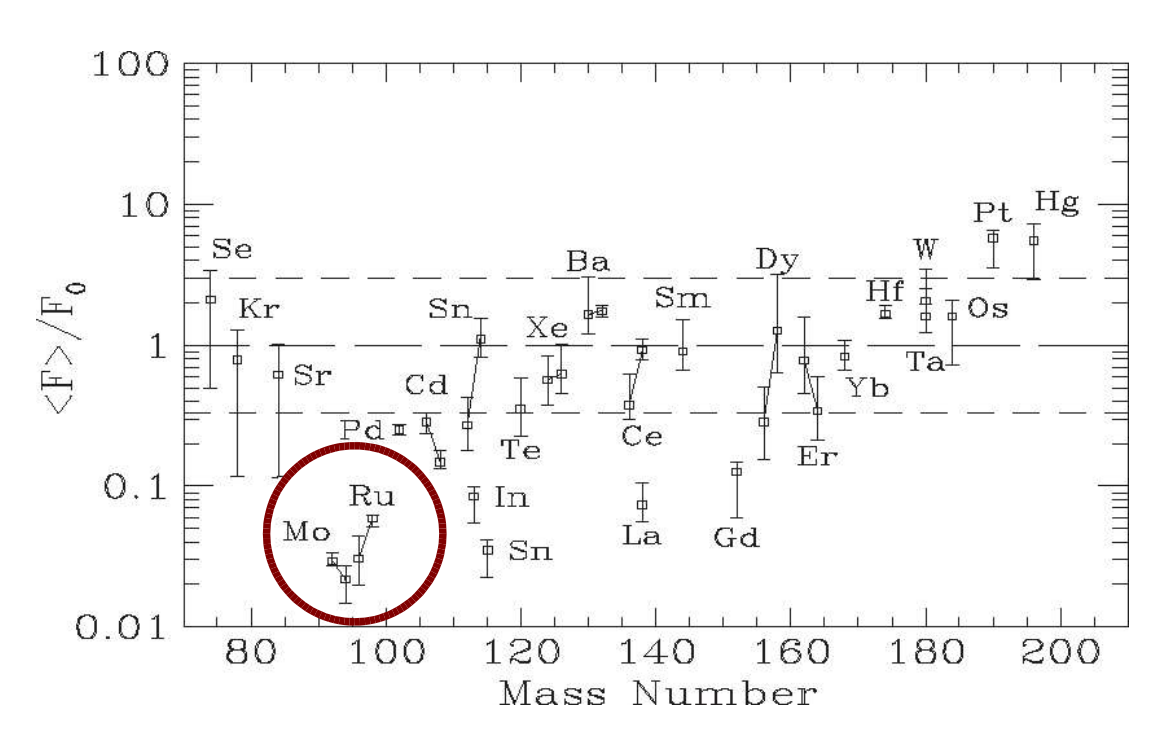
•Etoiles à neutrons : effets des excitations sur la chaleur spécifique

Ejection de matière riche en protons

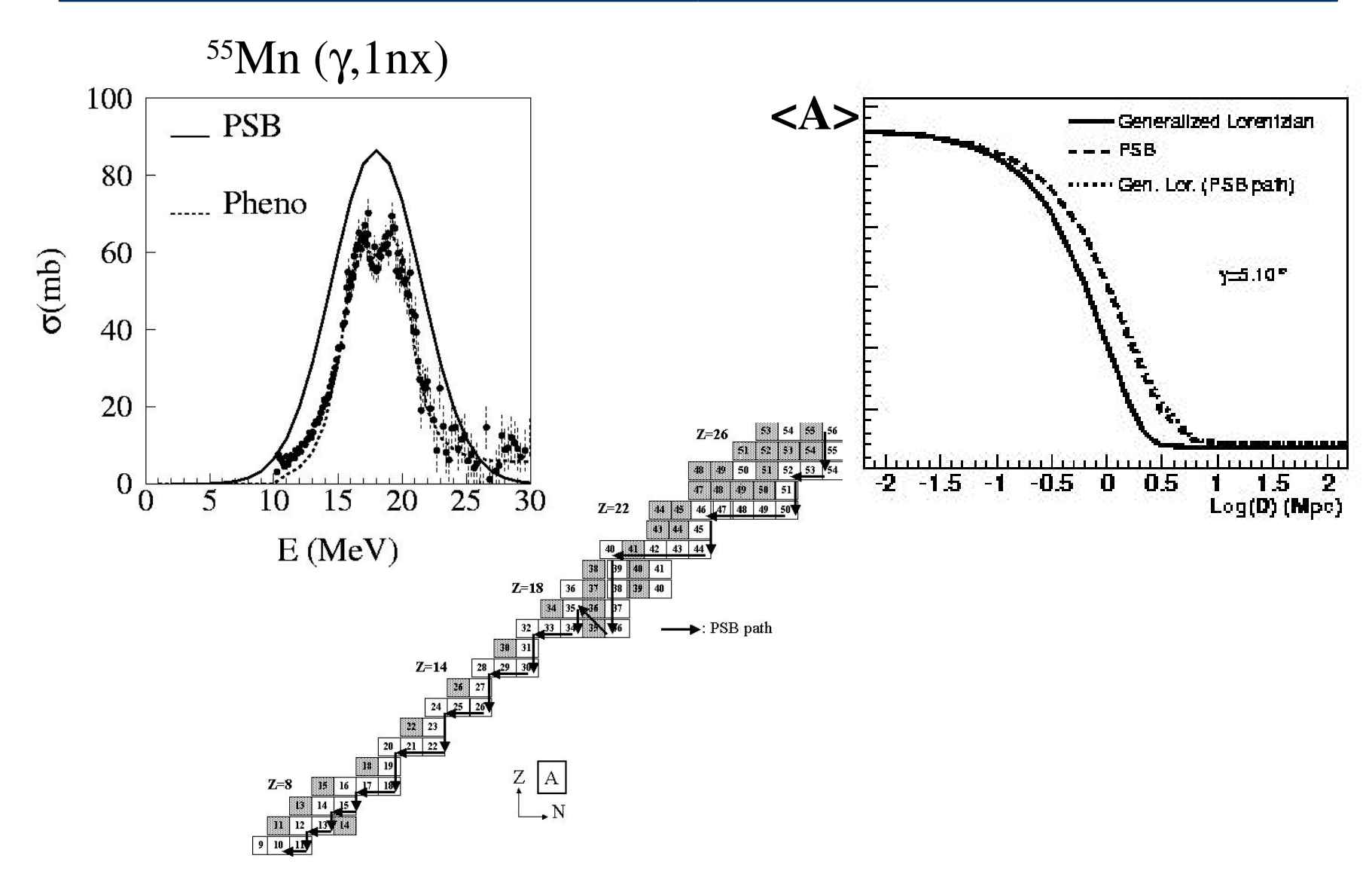
→ nucléosynthèse (processus p)



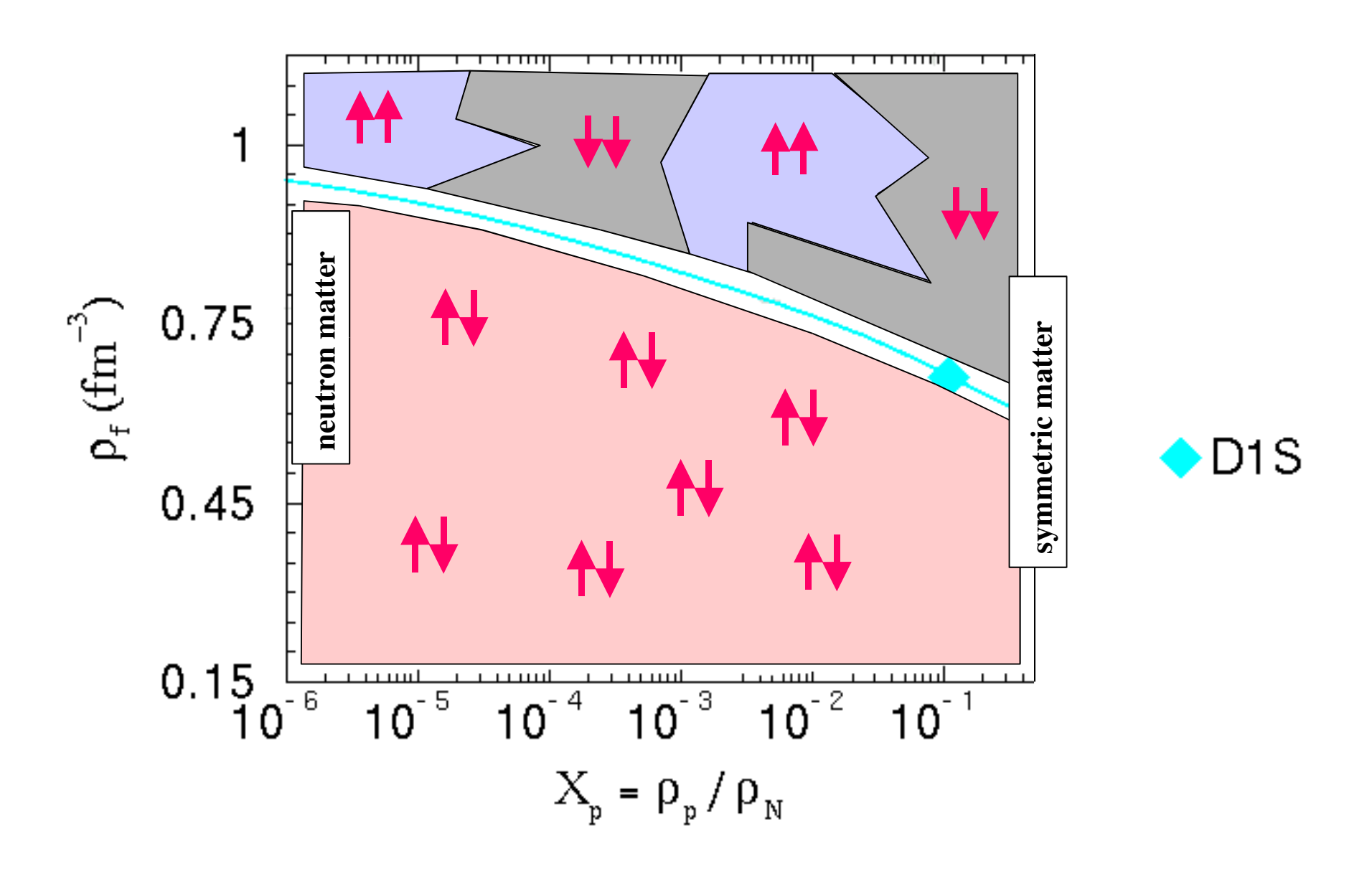
Problématique actuelle du processus p : synthèse du Molybdène et du Ruthénium



Rayons cosmiques de Ultra-Haute Energie : les noyaux

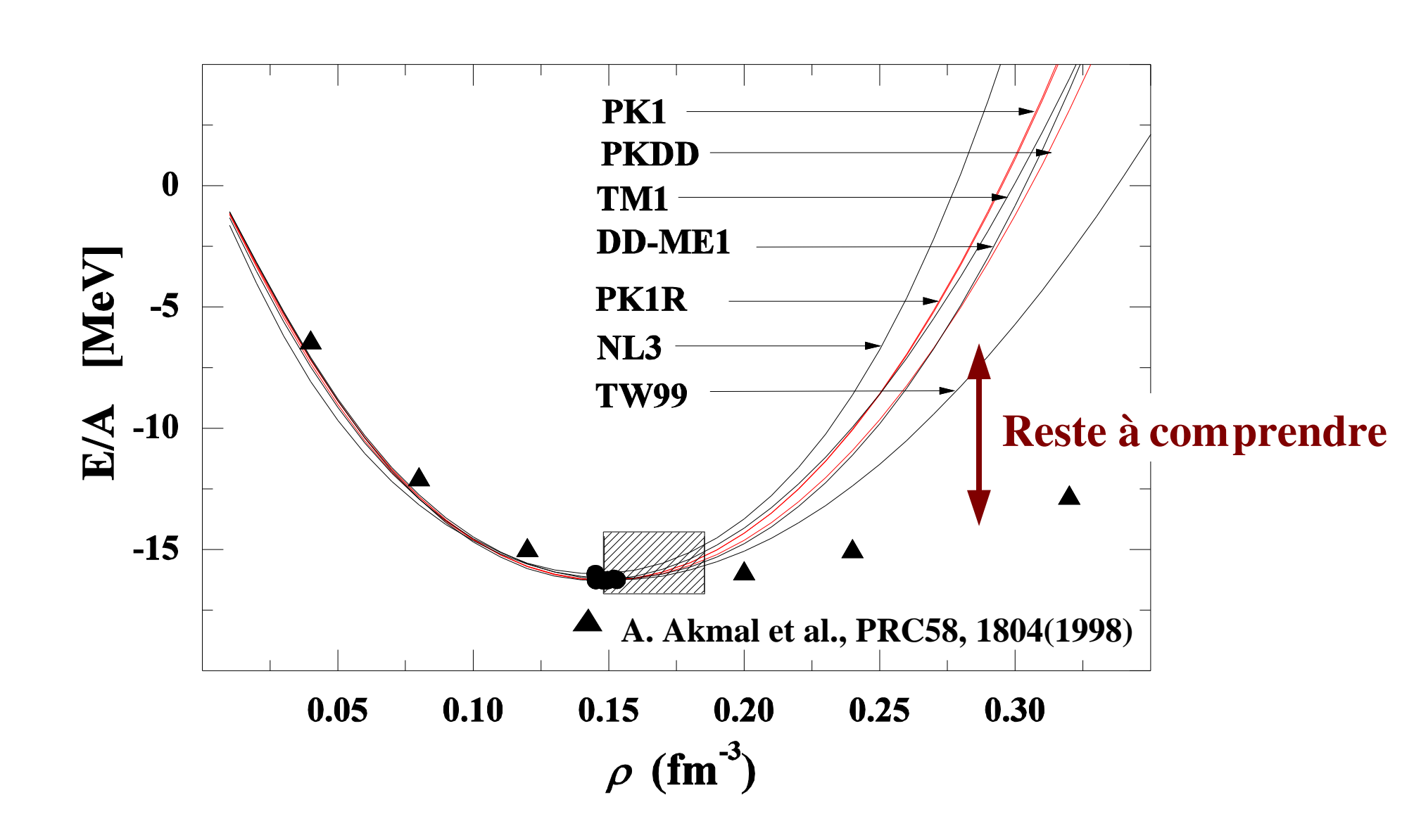


Ferromagnetic phase diagram



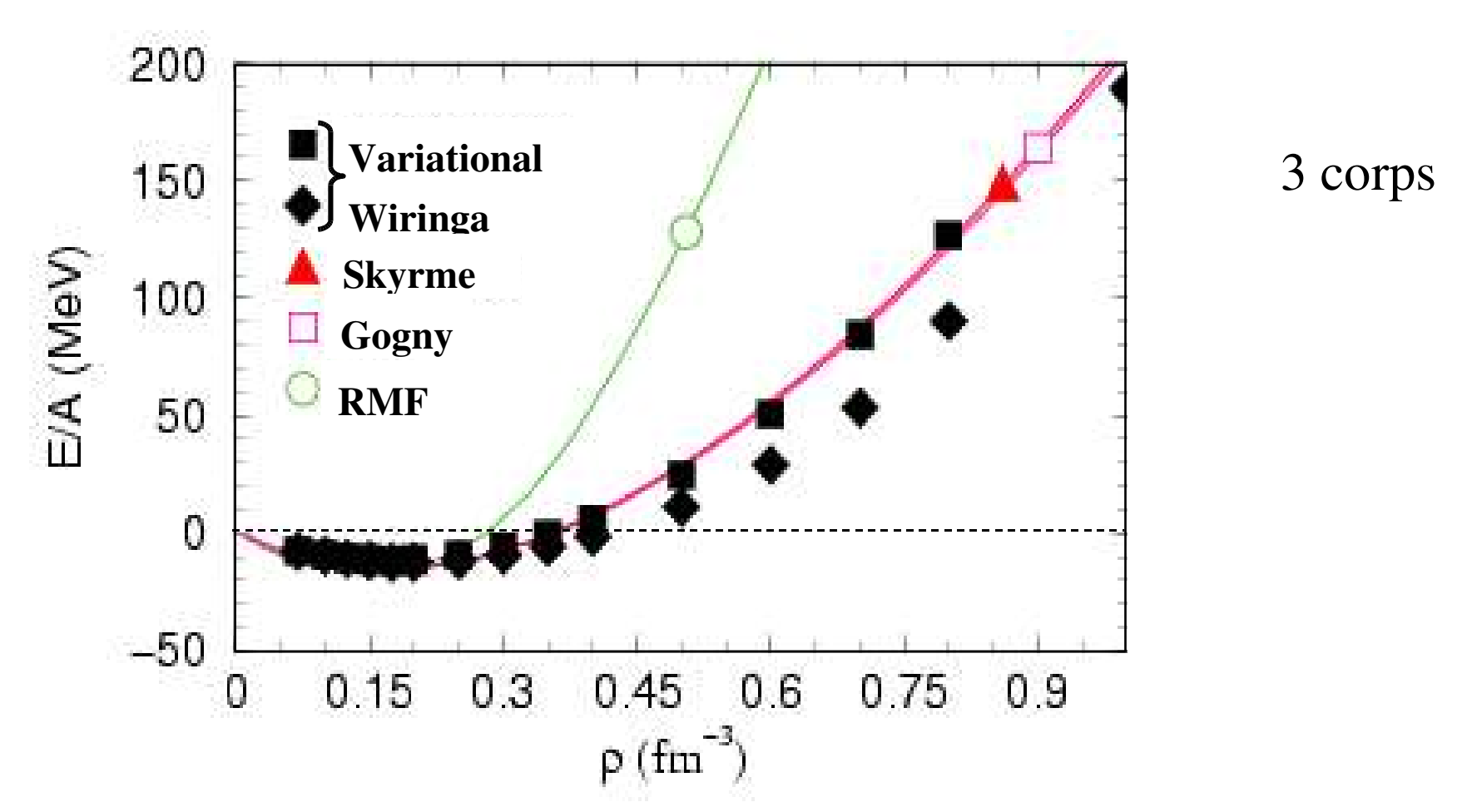
Equation d'état de la matière nucléaire

Modèles relativistes



Equation d'état de la matière nucléaire

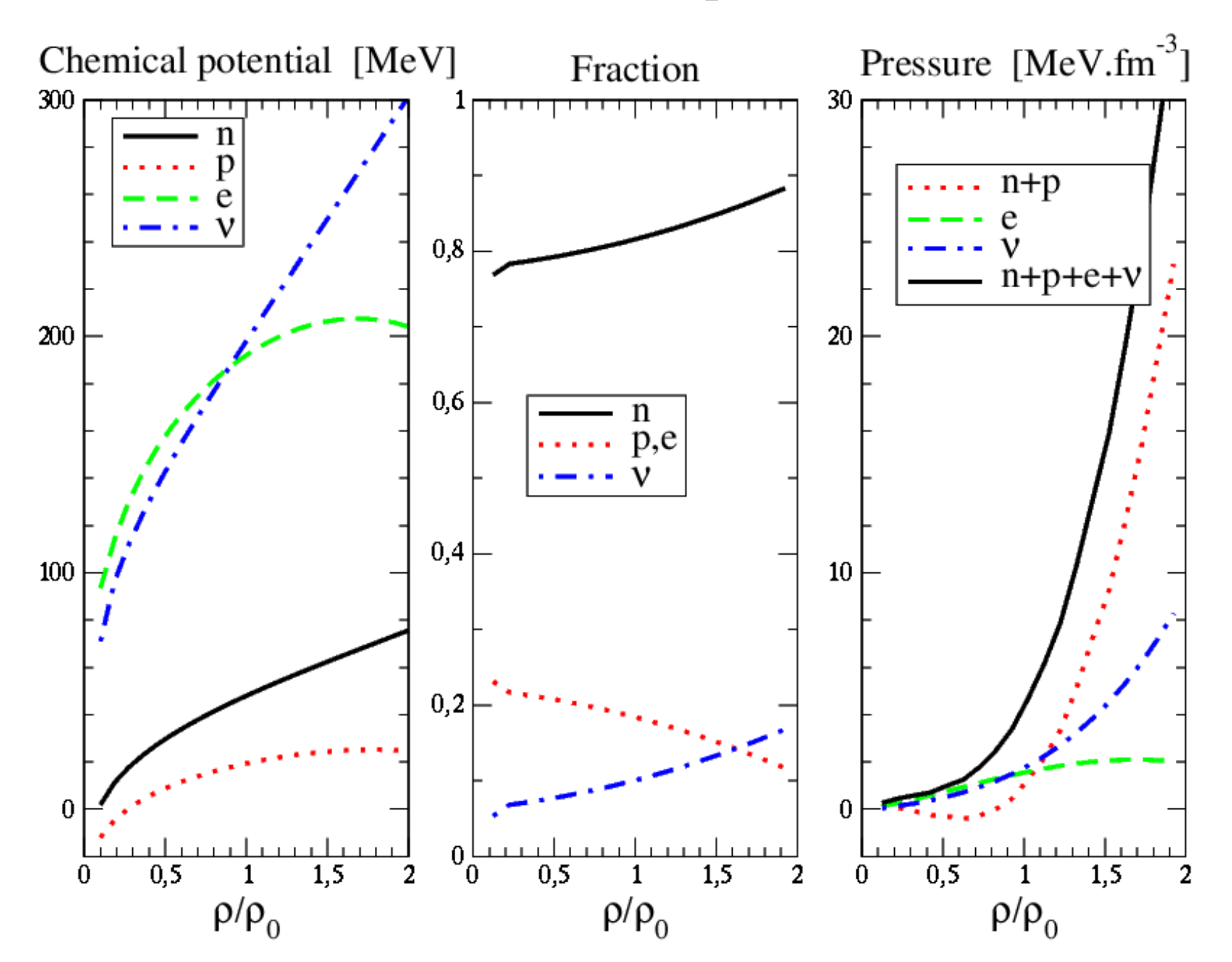
Modèles non-relativistes



Contraintes des interactions effectives : données connues de la matière nucléaire (saturation, incompressibilité, ...) propriétés de certains noyaux sphériques (O, ...)

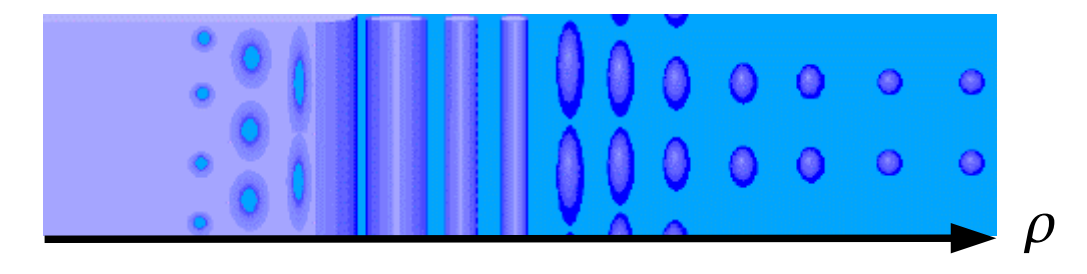
Equation d'état + équilibre chimique β

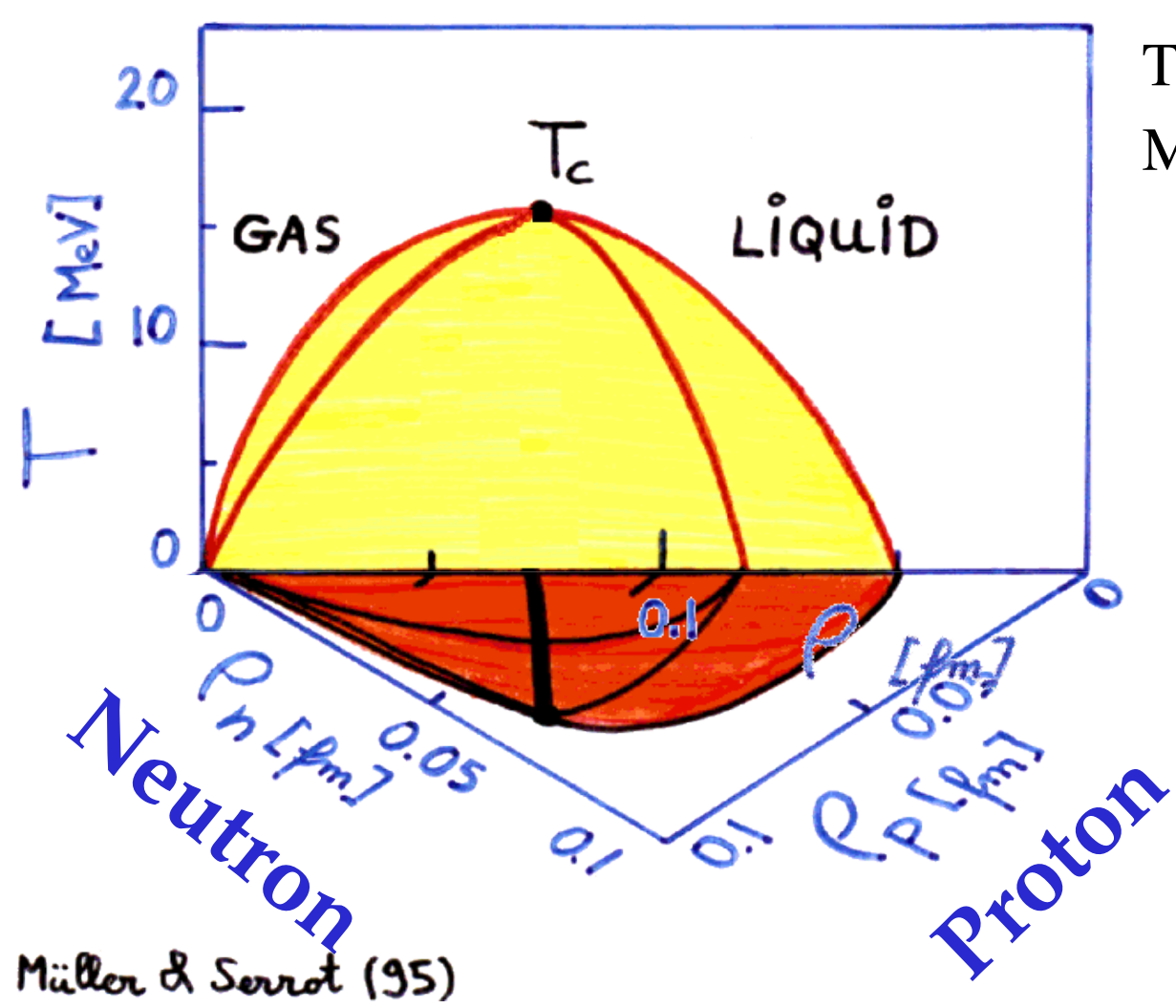
 $n + v \Leftrightarrow p + e^{-}$



Gogny D1P T=10 MeV $y_p=0.3$

Diagramme de phase à basse densité



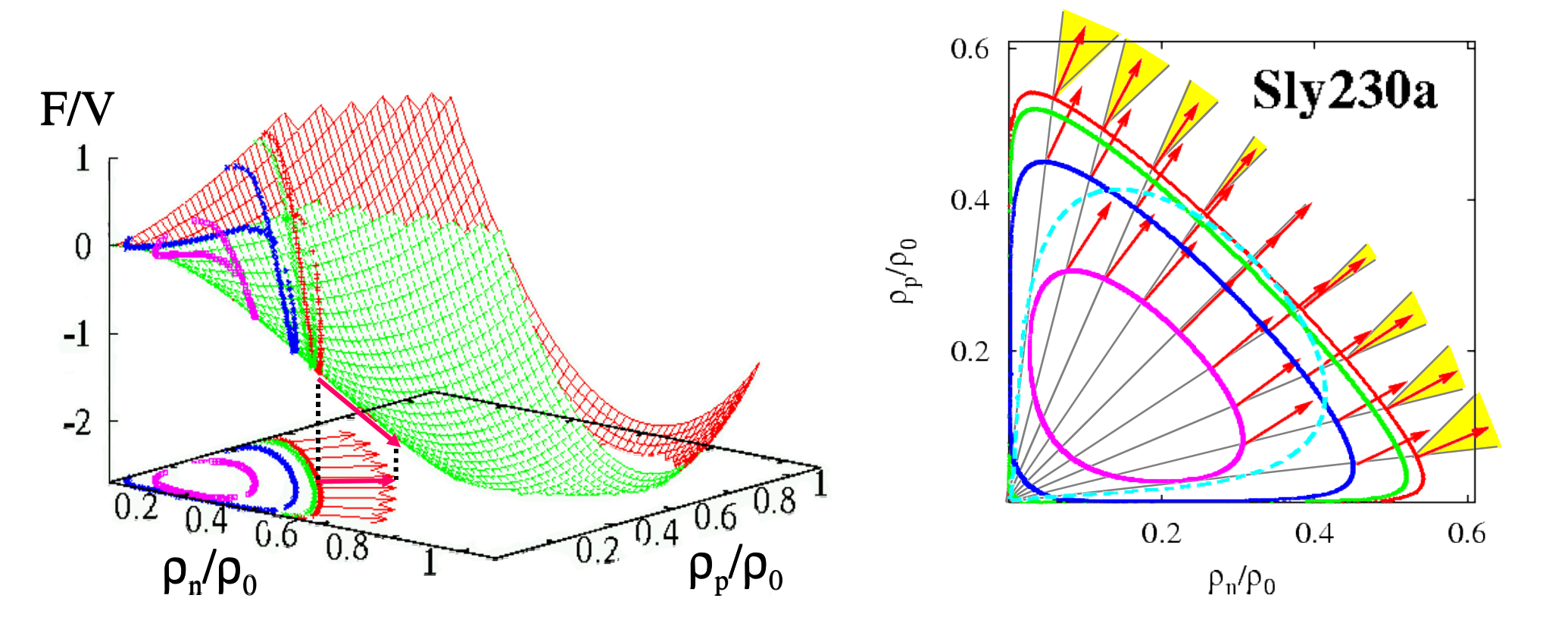


Transition liquide-gaz : Multifragmentation (INDRA)

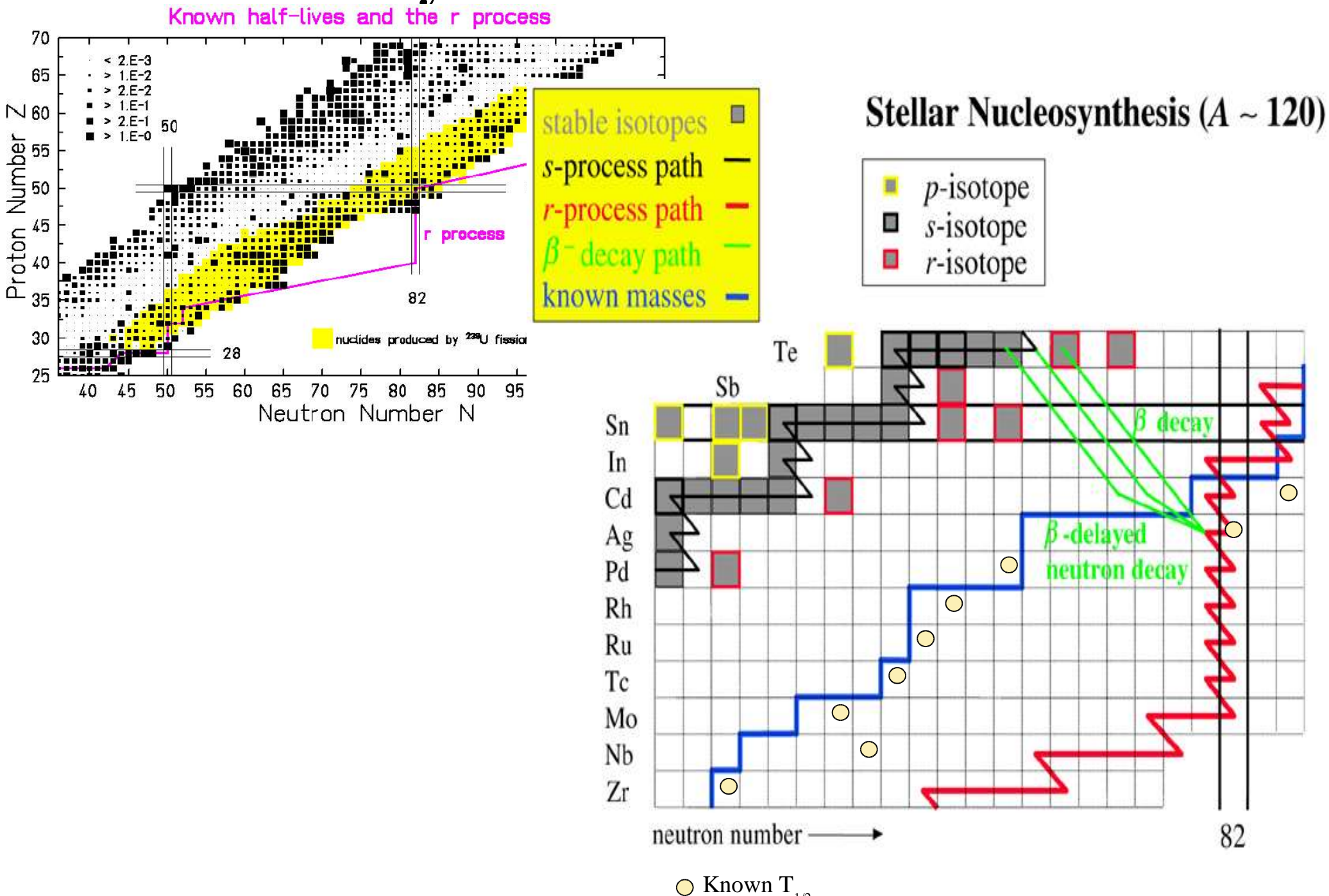
Matière asymétrique peu dense

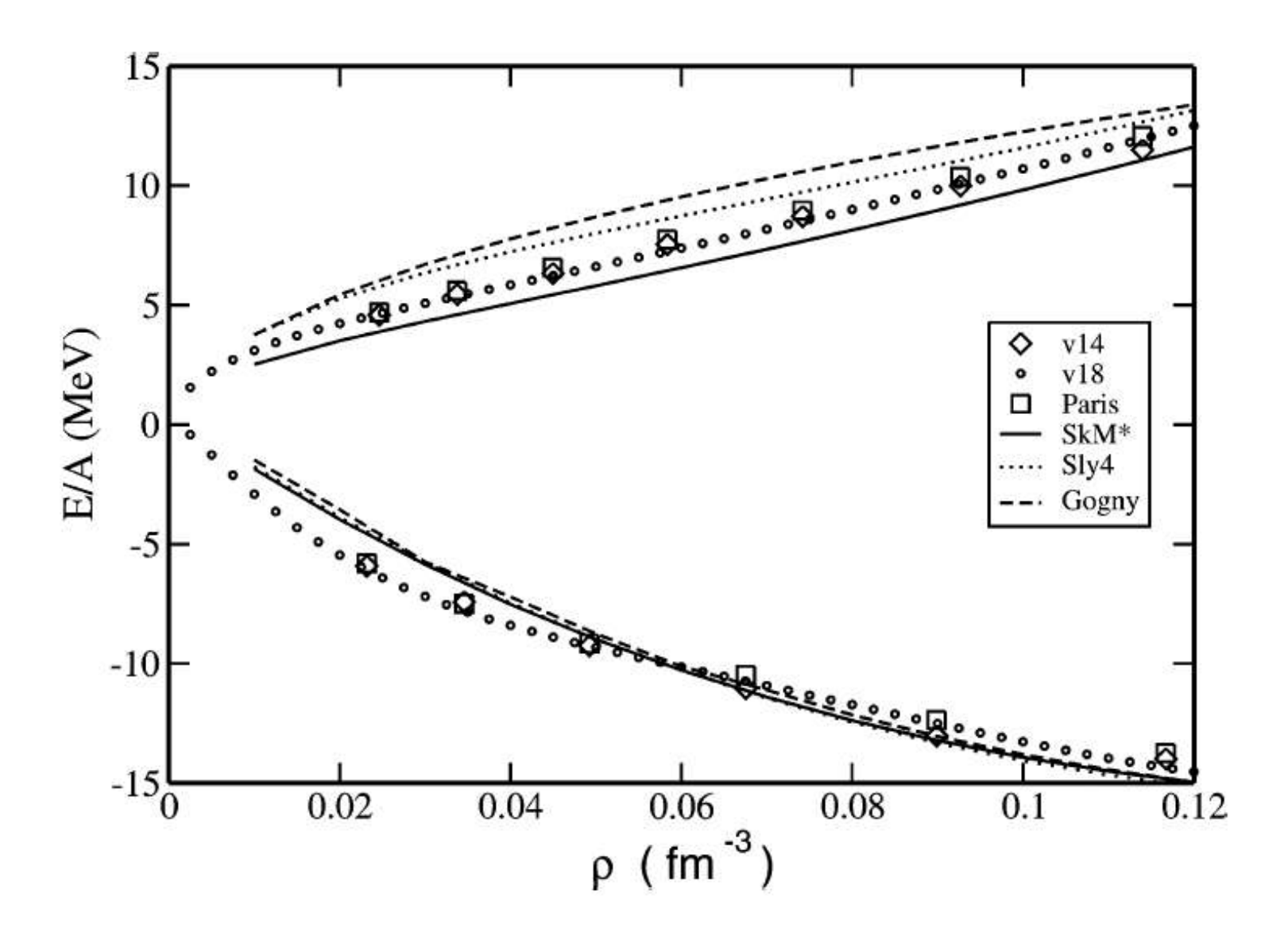
Etude de la topologie de l'énergie libre dans le système infini

→ mode propre d'instabilité (isoscalaire)

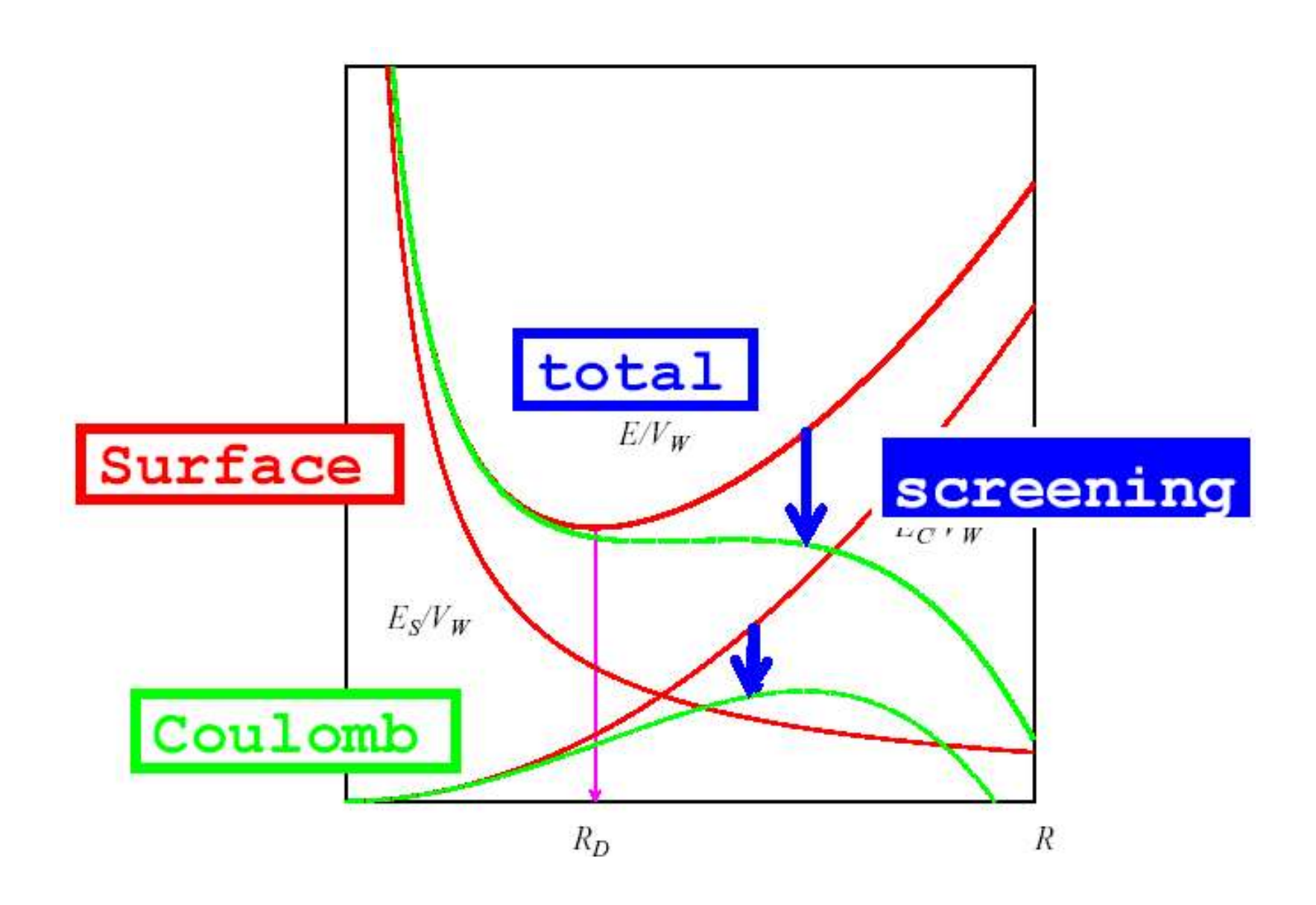


Nucléosynthèse des éléments lourds Known half-lives and the r process





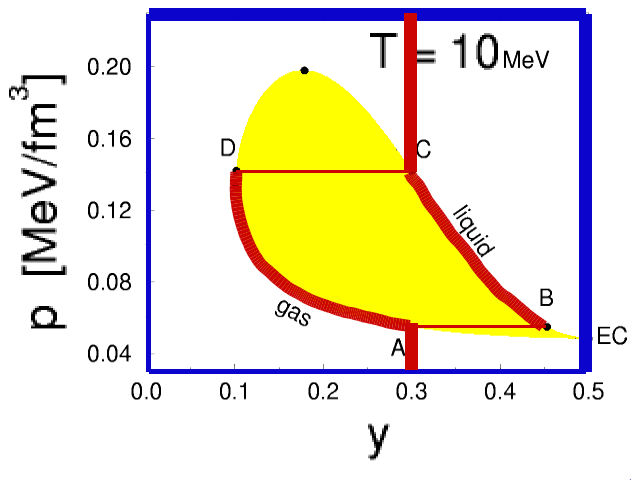
Effet d'écrantage : discussion qualitative

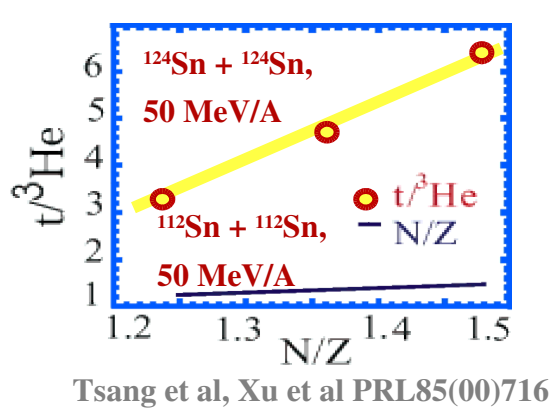


Probe low-density asymmetric matter

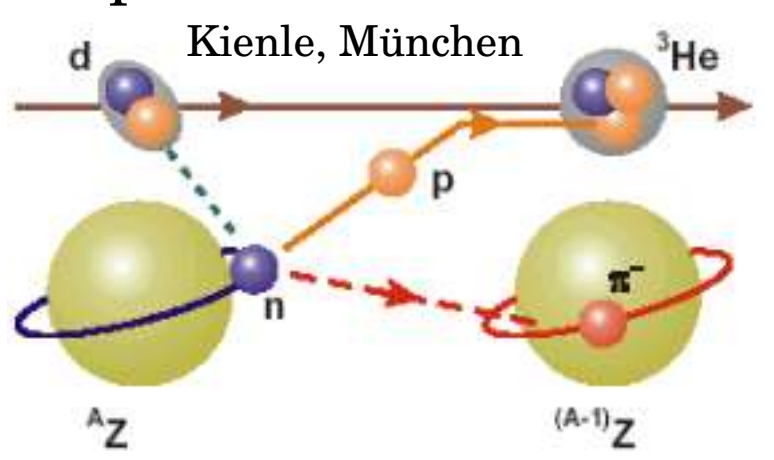
• Multifragmentation & liquid-gas

phase transition:

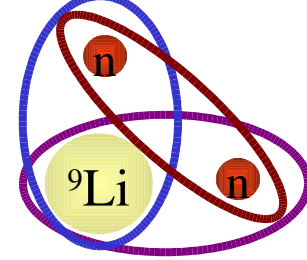




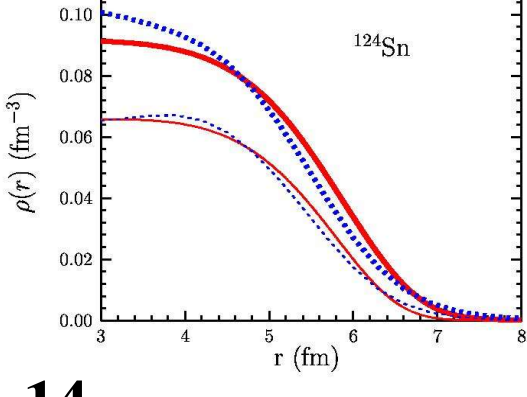
• Deeply bound pionic states :



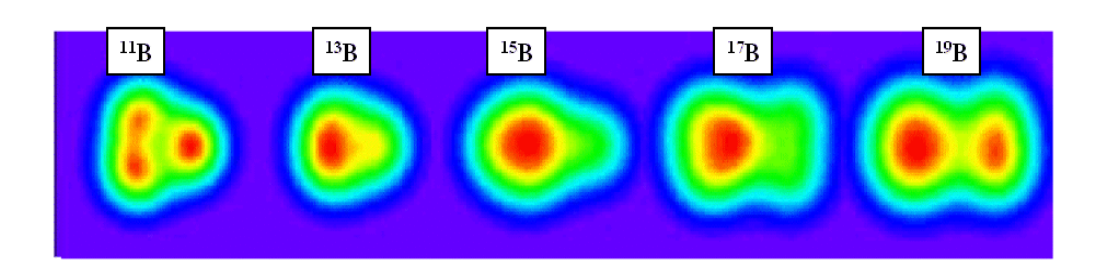
• Halo nuclei:

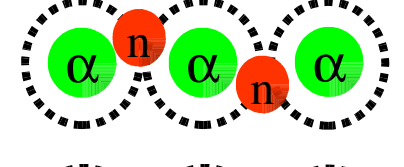


• Neutron skin:



• Exotic Clusters :





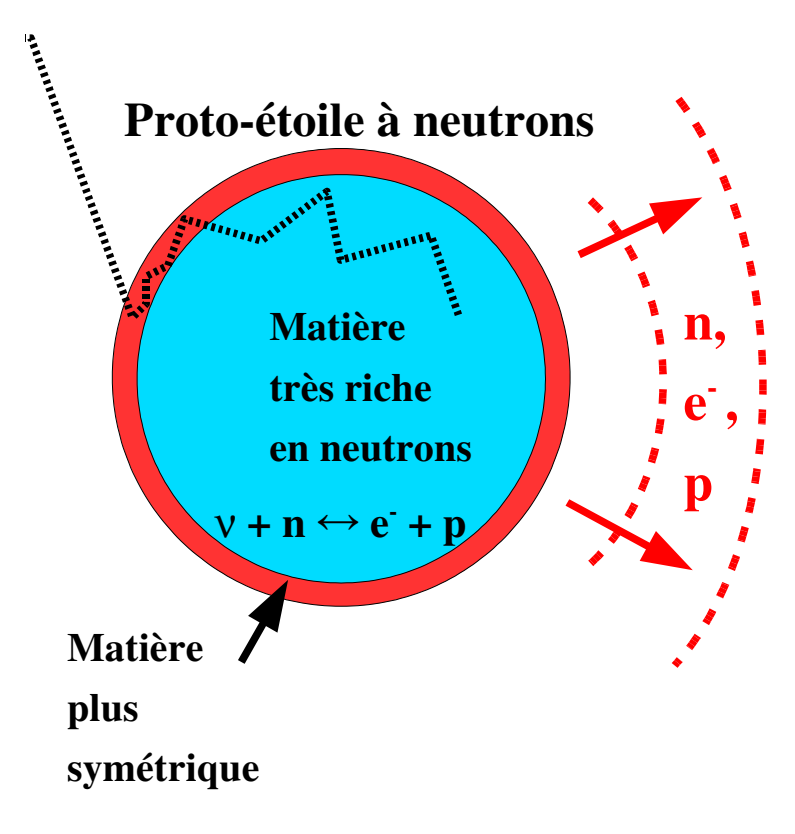




16C*

Supernovae: conséquences

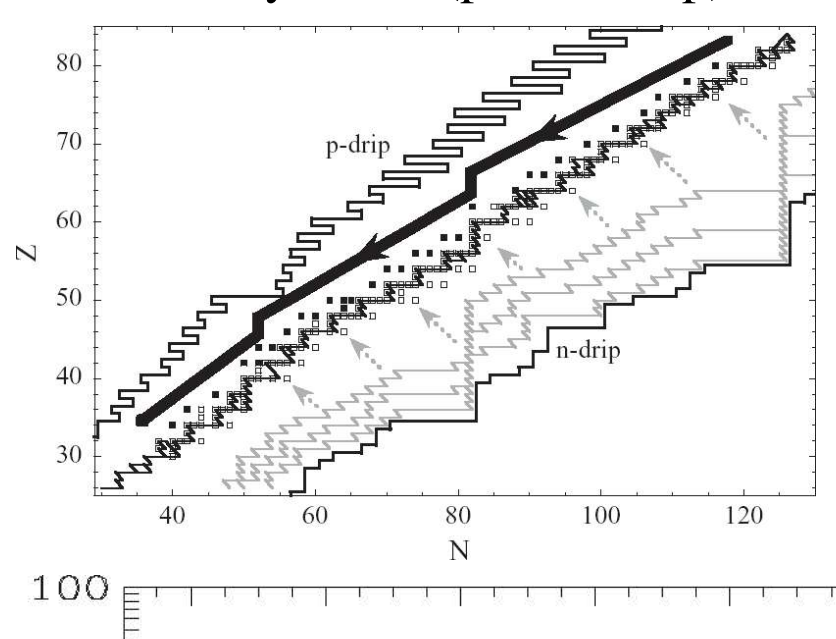
matière éjectée riche en protons

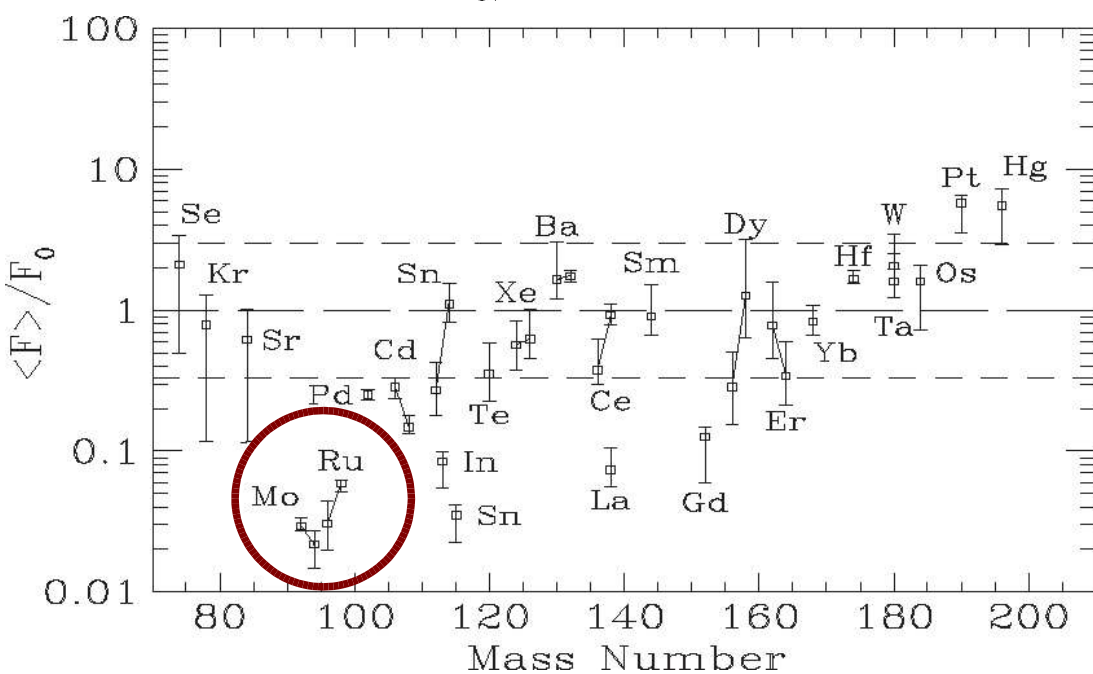


Problématique actuelle du processus p : synthèse du Molybdène et du Ruthénium

Ejection de matière riche en protons

→ nucléosynthèse (processus p)

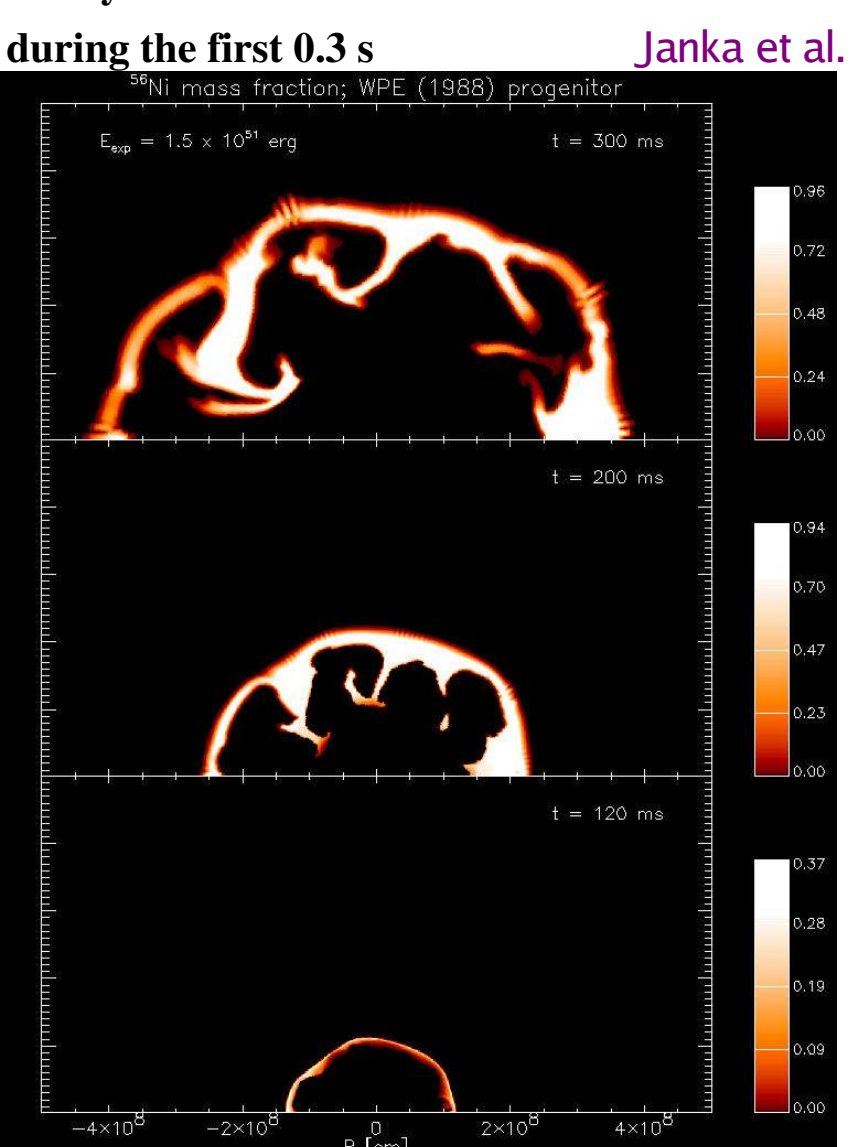


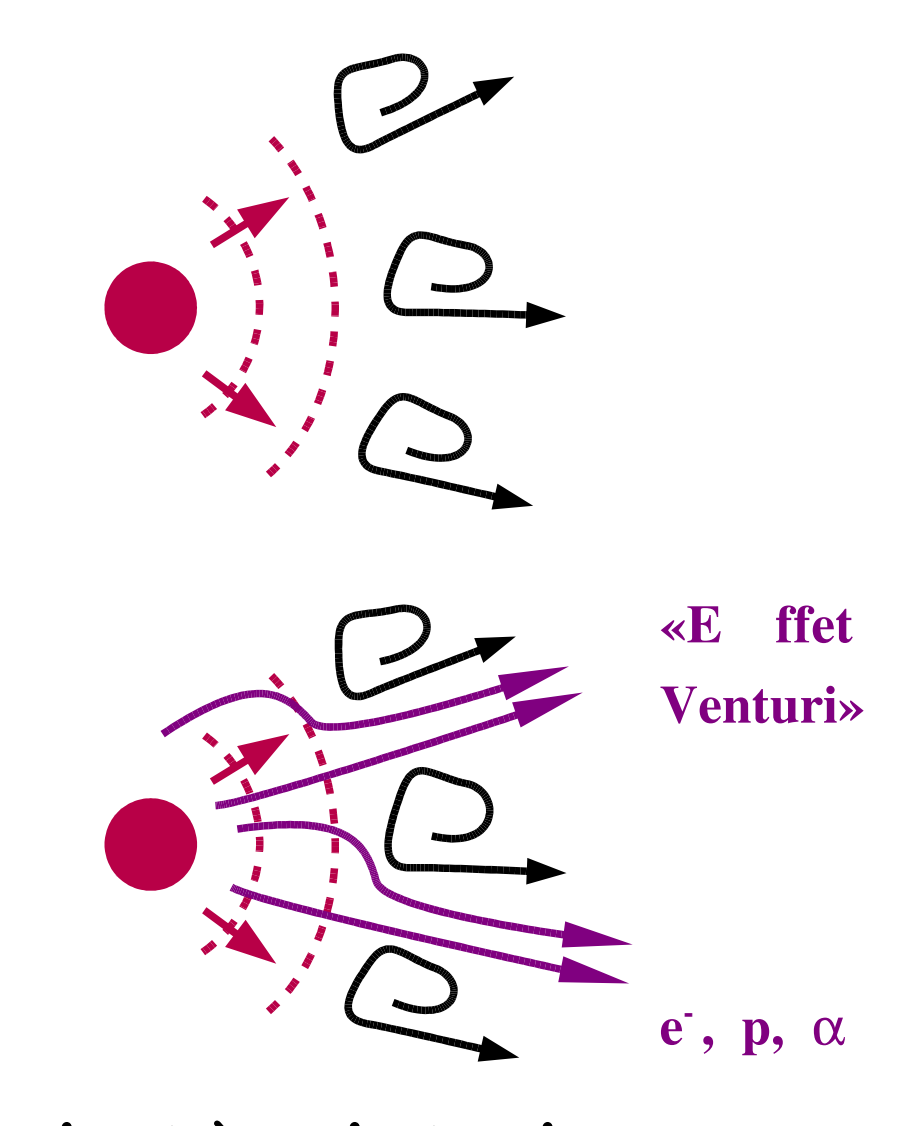


Accélération de particules chargées

 $1d \rightarrow 2d$: convection

⁵⁶Ni synthesized in 2D simulations

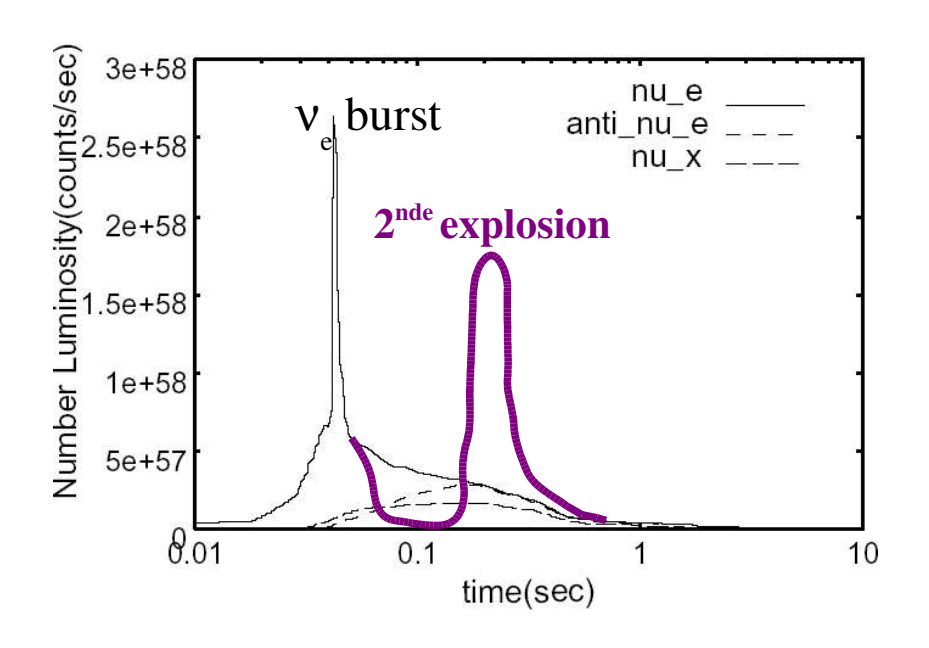


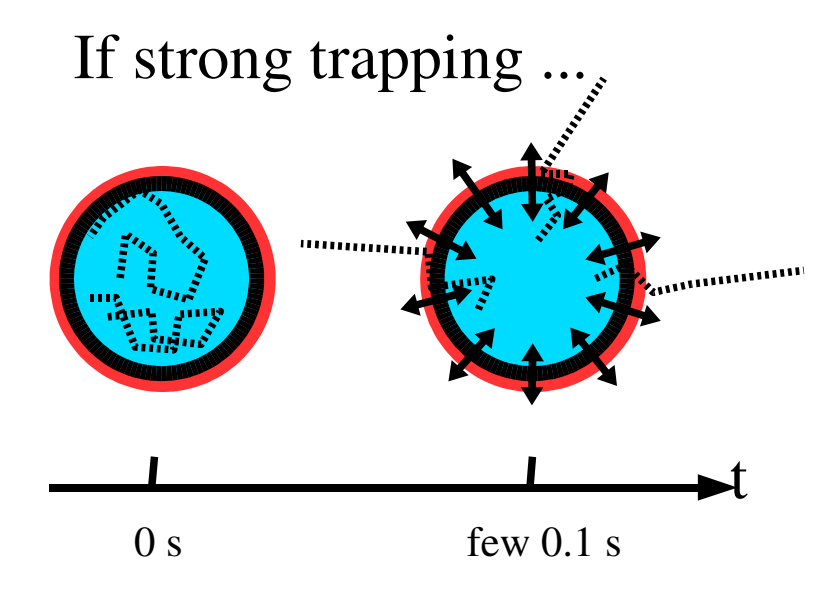


Explosion très anisotropique **→** dynamique complexe potentiellement riche en

nouveaux nhénomènes

Supernovae: possible consequences neutrino emission spectrum





Dynamical self-consistent effect

